

Міністерство освіти і науки України
Український державний університет науки і технологій

Управління енергетичними та економічними процесами

(назва факультету)

Інтелектуальні системи енергопостачання

(повна назва кафедри)

Пояснювальна записка

до кваліфікаційної роботи

бакалавра

(ступінь вищої освіти)

на тему: Розрахунок системи електропостачання для частини енергетичної системи між підстанціями Д-Є 110 кВ. Акумуляторні батареї

за освітньою програмою Електротехнічні системи електроспоживання

зі спеціальності: 141 Електроенергетика, електротехніка та електромеханіка

(шифр і назва спеціальності)

Виконав: студент групи ЕС21111:


(підпис студента)

/ Дмитро ПРИХОДЬКО /
(Ім'я ПРІЗВИЩЕ)

Керівник:


(підпис)

/ доцент Тетяна ДРУБЕЦЬКА /
(посада, Ім'я ПРІЗВИЩЕ)

Нормоконтролер:


(підпис)

/ доцент Ірина ПОТАПЧУК /
(посада, Ім'я ПРІЗВИЩЕ)

Засвідчую, що у цій роботі немає запозичень з праць інших авторів без відповідних посилань.

Студент


(підпис)

Дніпро – 2025 рік

Ministry of Education and Science of Ukraine
Ukrainian State University of Science and Technologies

Energy and economic process management

(faculty)

Intellectual power supply systems

(department)

Explanatory Note

to Master's Thesis

of Bachelor

(higher education degree)

on the topic: Calculation of the power supply system for the part of the power system between the 110 kV D-E substations. Batteries

according to educational curriculum Electrotechnical systems of electricity consumption

in the Speciality: 141 Electrotechnical systems of electricity consumption electromechanics

(speciality and its code)

Done by the student of the group EC2111:

/ Dmytro PRYKHODKO /

(name, surname)

Scientific Supervisor:

/ Ass. Prof. Tatiana DRUBETSKA /

(position, name, surname)

Normative controller:

/ Ass. Prof. Iryna POTAPCHUK /

(position, name, surname)

Міністерство освіти і науки України

Український державний університет науки і технологій

Факультет: Управління енергетичними та економічними процесами

Кафедра: Інтелектуальні системи енергопостачання

Рівень вищої освіти: Бакалавр

Освітня програма: Електротехнічні системи електроспоживання

Спеціальність: 141 Електроенергетика, електротехніка та електромеханіка

(ШИФР ТА НАЗВА)

ЗАТВЕРДЖУЮ

Завідувач кафедри ІСЕ

Дмитро БОСИЙ

(підпис)

(Ім'я ПРИЗВИЩЕ)

Дата _____

ЗАВДАННЯ

на кваліфікаційну роботу

бакалавра

(ступінь вищої освіти)

студенту

Приходьку Дмитру Денисовичу

(Прізвище, Ім'я По батькові)

1. Тема роботи: Розрахунок системи електропостачання для частини енергетичної системи між підстанціями Д-Є 110 кВ. Акумуляторні батареї

Керівник роботи: Друбецька Тетяна Ігорівна, к.т.н., доцент

(Прізвище, Ім'я, По батькові, науковий ступінь, вчене звання)

затверджені наказом від 03.03.2025 р. № 328ст

2. Строк подання студентом 12.06.2025 р.

роботи:

3. Вихідні дані до вихідні дані до кваліфікаційної роботи відповідно до варіанту, дані відкритих джерел інформації

4. Зміст пояснювальної записки (перелік питань, які потрібно опрацювати):

4.1 Тягове електропостачання: розрахунок навантажень на систему тягового електропостачання, вибір контактної мережі, механічний розрахунок контактної підвіски

4.2 Електричні підстанції та станції: вибір основного обладнання тягової підстанції, розрахунки струмів короткого замикання, проектування сонячної електростанції

4.3 Електромережі та релейний захист: розрахунок кабельної лінії електропересилання, вибір параметрів релейного захисту кабельної лінії

4.4 Індивідуальне завдання: Акумуляторні батареї

5. Перелік графічного матеріалу (з точним зазначенням обов'язкових креслень): графіки струмів поїздів на ділянці, графіку руху поїздів, графіки

струмів фідерів тягових підстанцій, монтажні криві для контактної підвіски, однолінійна розрахункова схема тягових підстанцій, схеми заміщення при розрахунку струмів к.з., звіт проекту сонячної електростанції з програми PVsyst

КАЛЕНДАРНИЙ ПЛАН

№ з/п	Назва етапів кваліфікаційної роботи	Строк виконання етапів роботи	Примітка
1	Тягове електропостачання	11.03.2025	
2	Електричні підстанції та станції	18.04.2025	
3	Електромережі та релейний захист	16.04.2025	
4	Індивідуальне завдання	23.05.2025	
5	Подання кваліфікаційної роботи до кафедри	12.06.2025	
6	Захист кваліфікаційної роботи на засіданні Екзаменаційної комісії	24.06.2025	

Студент

_____ (підпис)

Дмитро ПРИХОДЬКО

_____ (Ім'я ПРІЗВИЩЕ)

Керівник роботи

_____ (підпис)

Тетяна ДРУБЕЦЬКА

_____ (Ім'я ПРІЗВИЩЕ)

ВІДОМІСТЬ КВАЛІФІКАЦІЙНОЇ РОБОТИ

першого (бакалаврського) рівня вищої освіти Приходько Д. Д. на тему:
«Розрахунок системи електропостачання для частини енергетичної системи між
підстанціями Д-Є 110 кВ. Акумуляторні батареї»

Складова кваліфікаційної роботи	Кількість	Обсяг
Пояснювальна записка	1	96 стор.
Демонстраційний матеріал	1	18 слайдів

Керівник: _____ / Тетяна ДРУБЕЦЬКА /

Нормоконтролер: _____ / Ірина ПОТАПЧУК /

Завідувач кафедри ІСЕ: _____ / Дмитро БОСИЙ /

РЕФЕРАТ

Пояснювальна записка до кваліфікаційної роботи бакалавра містить: 96 с., 27 рис., 41 табл., 14 джерел.

Об'єкт розробки – частина енергетичної системи між підстанціями Д-Є 110 кВ.

Мета роботи – розрахунок системи електропостачання між підстанціями Д-Є 110 кВ.

Методи дослідження. Вирішення поставлених завдань здійснювалося з використанням теоретичних матеріалів у даній галузі, методів математичного програмування та програмного комплексу PVsyst.

Для досягнення даної мети виконано розрахунок навантажень на систему тягового електропостачання, вибір контактної мережі, проведено механічний розрахунок контактної підвіски, розрахунок струмів короткого замикання та вибір основного обладнання тягової підстанції, виконано проектування сонячної електростанції, розрахунок кабельної лінії електропересилання та вибір параметрів релейного захисту кабельної лінії.

Результатами роботи являються визначені значення струмів фідерів та підстанцій, струмів короткого замикання на всіх приєднаннях, вибір трансформаторів, вимикачів та роз'єднувачів, визначення обладнання для сонячних станцій. Дані результати можуть стати основою для розробки системи електропостачання між підстанціями Д-Є.

Ключові слова: ЕЛЕКТРОПОСТАЧАННЯ, ТЯГОВА МЕРЕЖА, СОНЯЧНА ЕЛЕКТРОСТАНЦІЯ, ІНВЕРТОР, РЕЛЕЙНИЙ ЗАХИСТ, АКУМУЛЯТОРНА БАТАРЕЯ.

ЗМІСТ

ВСТУП	9
1. ТЯГОВЕ ЕЛЕКТРОПОСТАЧАННЯ	10
1.1 Струморозподіл у тяговій мережі.....	10
1.1.1 Навантаження тягових підстанцій.....	10
1.1.2 Струм фази трансформатора підстанції змінного струму.....	17
1.1.3 Переріз контактної мережі.....	20
1.1.4 Визначення питомих річних втрат електроенергії.....	21
1.1.5 Перевірка контактної підвіски за нагрівом.....	25
1.2 Механічний розрахунок анкерної ділянки	26
2. ЕЛЕКТРИЧНІ ПІДСТАНЦІЇ ТА СТАНЦІЇ	33
2.1 Розрахунок потужності трансформаторів.....	33
2.2 Розрахунок струмів к.з.....	36
2.3 Розрахунок максимальних робочих струмів приєднань.....	47
2.4 Вибір електричних апаратів вище 1000 В.....	48
2.5 Проектування сонячної електростанції.....	50
3. ЕЛЕКТРОМЕРЕЖІ ТА РЕЛЕЙНИЙ ЗАХИСТ	59
3.1 Розрахунок кабельної лінії електропересилання.....	59
3.2 Вибір параметрів релейного захисту кабельної лінії.....	67
4. ІНДИВІДУАЛЬНЕ ЗАВДАННЯ	
Акумуляторні батареї	76
4.1 Призначення та основні типи	76
4.2 Особливості свинцево-кислотних акумуляторних батарей	77
4.2.1 Загальна характеристика акумуляторної батареї тягових підстанцій..	79

					02.15.ЕС2111.КРБ.2025–ПЗ									
<i>Зм.</i>	<i>Арк.</i>	<i>№ документа</i>	<i>Підпис</i>	<i>Дата</i>										
<i>Розробив</i>		<i>Приходько</i>			Розрахунок системи електропостачання для частини енергетичної системи між підстанціями Д-С 110 кВ. Акумуляторні батареї									
<i>Консульт.</i>														
<i>Керівник</i>		<i>Друбецька</i>												
<i>Н. контр.</i>		<i>Потанчук</i>												
<i>Зав.каф.</i>		<i>Босий</i>												
					<table style="width: 100%; border-collapse: collapse;"> <tr> <td style="text-align: center;"><i>Літера</i></td> <td style="text-align: center;"><i>Аркуш</i></td> <td style="text-align: center;"><i>Аркушів</i></td> </tr> <tr> <td style="text-align: center;"> </td> <td style="text-align: center;">7</td> <td style="text-align: center;">96</td> </tr> <tr> <td colspan="3" style="text-align: center;">МОНУ, УДУНТ, ІСЕ, ЕС2111</td> </tr> </table>	<i>Літера</i>	<i>Аркуш</i>	<i>Аркушів</i>		7	96	МОНУ, УДУНТ, ІСЕ, ЕС2111		
<i>Літера</i>	<i>Аркуш</i>	<i>Аркушів</i>												
	7	96												
МОНУ, УДУНТ, ІСЕ, ЕС2111														

4.2.2 Типи акумуляторних батарей, застосовуваних на тягових підстанціях.....	81
4.3 Нікель-кадмієві акумуляторні батареї.....	86
4.4 Особливості літій-іонних акумуляторних батарей.....	88
ВИСНОВКИ ТА РЕКОМЕНДАЦІЇ.....	94
ПЕРЕЛІК ПОСИЛАНЬ.....	95

ВСТУП

Сукупність електротехнічних пристроїв від генераторів електростанцій до тягової мережі складає систему електропостачання електрифікованих залізниць. Системи тягового електропостачання корінним чином відрізняються від систем електропостачання промислових підприємств, що зумовлено навантаженнями, які змінюються в координатах часу та простору.

Основне призначення системи тягового електропостачання полягає в забезпеченні експлуатаційної роботи електрифікованих залізниць. Для цього необхідно, щоб загальна потужність всіх елементів системи була достатньою для забезпечення кожному електровозу необхідної потужності в різноманітних умовах роботи залізничного транспорту. Розв'язання поставленої задачі можливе лише за умови правильного вибору параметрів системи електропостачання, тобто забезпечення роботи обладнання в допустимих для нього межах по навантаженню та дотримання необхідної якості електроенергії.

Метою даної роботи є придбання та закріплення навичок вибору параметрів та визначення показників роботи системи тягового електропостачання, виконання проектних розрахунків для ділянки електрифікованої залізниці змінного струму.

					02.15.ЕС2111.КРБ.2025–ПЗ	Лист
Зм.	Арк.	№ документа	Підпис	Дата		9

1 ТЯГОВЕ ЕЛЕКТРОПОСТАЧАННЯ

1.1 Струморозподіл у тяговій мережі

Струмові навантаження поїздів та графік руху представлені відповідно на рис.1.1 та рис. 1.2.

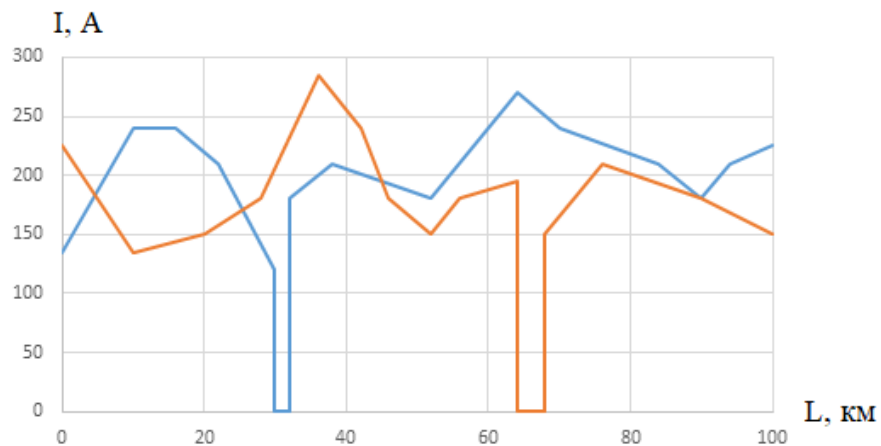


Рисунок 1.1 – Струмові навантаження поїздів на ділянці

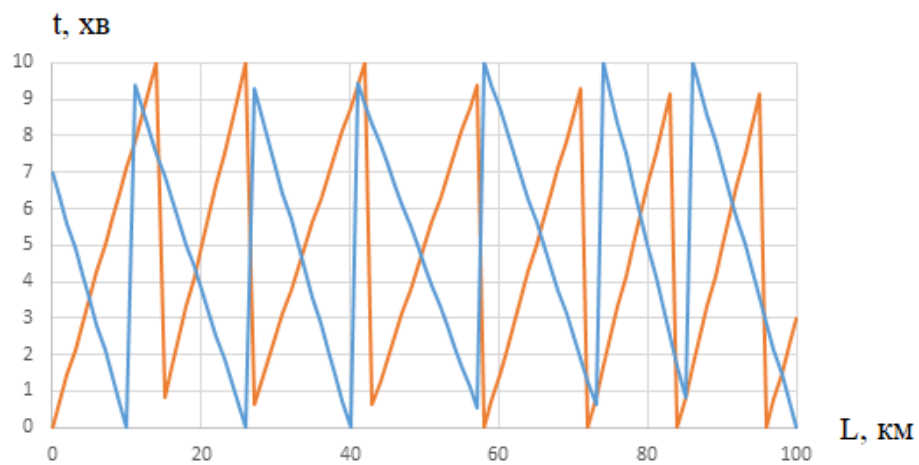


Рисунок 1.2 – Графіки руху поїздів

1.1.1 Навантаження тягових підстанцій

Відповідно до струмових навантажень поїздів та графіку руху визначаємо середній струм фідера за час руху поїзда розрахунковою міжпідстанційною зоною (МПЗ):

					02.15.ЕС2111.КРБ.2025–ПЗ	Лист
Зм.	Арк.	№ документа	Підпис	Дата		10

$$I_1 = 173,7 \text{ A}, \quad I_2 = 201,4 \text{ A}, \quad I_3 = 88,5 \text{ A}, \quad I_4 = 69,9 \text{ A}.$$

Ефективний струм фідера за час руху розрахункового поїзда по МПЗ:

$$I_{e1} = 206,3 \text{ A}, \quad I_{e2} = 224,7 \text{ A}, \quad I_{e3} = 103,9 \text{ A}, \quad I_{e4} = 87,9 \text{ A}.$$

Струми фідерів підстанції визначаються для двох режимів навантаження:

- 1) режиму середніх розмірів руху поїздів ($N = N_{сер}$);
- 2) режиму згущення поїздів ($N = N_{зг} = 0,9N_0$);
- 3) режиму максимальних розмірів руху ($N = N_0$).

Середній струм фідера підстанції визначається за формулою:

$$I_{\phi} = \frac{n_0 \cdot N}{N_0} \cdot I, \quad (1.1)$$

де n_0 – максимальна кількість поїздів, які одночасно знаходяться на даній МПЗ.

У свою чергу:

$$n_0 = \frac{t}{J}, \quad (1.2)$$

де J – мінімальний міжпоїзний інтервал, хв;

N – добова кількість поїздів на ділянці, пар;

N_0 – максимальна пропускна спроможність ділянки, пар:

$$N_0 = \frac{T}{J}, \quad (1.3)$$

де T – розрахунковий період, що дорівнює кількості хвилин у добі, хв.

					02.15.ЕС2111.КРБ.2025–ПЗ	Лист
						11
Зм.	Арк.	№ документа	Підпис	Дата		

Підставляючи значення у формули (1.2) та (1.3) отримаємо:

$$N_0 = \frac{24 \cdot 60}{10} = 144 \text{ пар};$$

$$n_{01} = \frac{34,3}{10} = 3,43 \text{ пар};$$

$$n_{02} = \frac{24}{10} = 2,4 \text{ пар};$$

$$n_{03} = \frac{31,3}{10} = 3,13 \text{ пар};$$

$$n_{04} = \frac{22}{10} = 2,2 \text{ пар}.$$

Ефективний струм фідера підстанції визначається в залежності від схеми живлення:

1) для консольного живлення:

$$I_{\text{фе}}^2 = \frac{n_0 \cdot N}{N_0} \cdot I_e^2 + \frac{n_0(n_0 - 1) \cdot N^2}{N_0^2} \cdot I^2; \quad (1.4)$$

2) для двостороннього живлення:

$$I_{\text{фе}}^2 = \frac{4 \cdot n_0 \cdot N}{3N_0} \cdot I_e^2 + \frac{n_0 \left(n_0 - \frac{4}{3} \right) \cdot N^2}{N_0^2} \cdot I^2. \quad (1.5)$$

Підставляючи значення у формули (1.1), (1.4) та (1.5) отримаємо струми для різних режимів.

					02.15.ЕС2111.КРБ.2025–ПЗ	Лист
Зм.	Арк.	№ документа	Підпис	Дата		12

Режим середніх розмірів руху поїздів:

$$I_{\phi 1} = \frac{3,43 \cdot 75 \cdot 173,7}{144} = 310,3 \text{ А};$$

$$I_{\phi 2} = \frac{2,4 \cdot 75 \cdot 201,4}{144} = 251,8 \text{ А};$$

$$I_{\phi 3} = \frac{3,13 \cdot 75 \cdot 88,5}{144} = 144,3 \text{ А};$$

$$I_{\phi 4} = \frac{2,2 \cdot 75 \cdot 69,9}{144} = 80,1 \text{ А};$$

$$I_{e\phi 1} = \sqrt{\frac{4 \cdot 3,43 \cdot 75}{3 \cdot 144} \cdot 206,3^2 + \frac{3,43 \cdot \left(3,43 - \frac{4}{3}\right) \cdot 75^2}{144^2} \cdot 173,7^2} = 400,3 \text{ А};$$

$$I_{e\phi 2} = \sqrt{\frac{4 \cdot 2,4 \cdot 75}{3 \cdot 144} \cdot 224,7^2 + \frac{2,4 \cdot \left(2,4 - \frac{4}{3}\right) \cdot 75^2}{144^2} \cdot 201,4^2} = 335,1 \text{ А};$$

$$I_{e\phi 3} = \sqrt{\frac{4 \cdot 3,13 \cdot 75}{3 \cdot 144} \cdot 103,9^2 + \frac{3,13 \cdot \left(3,13 - \frac{4}{3}\right) \cdot 75^2}{144^2} \cdot 88,5^2} = 188,2 \text{ А};$$

$$I_{e\phi 4} = \sqrt{\frac{4 \cdot 2,2 \cdot 75}{3 \cdot 144} \cdot 87,9^2 + \frac{2,2 \cdot \left(2,2 - \frac{4}{3}\right) \cdot 75^2}{144^2} \cdot 69,9^2} = 119,7 \text{ А}.$$

Режим згущення поїздів:

					02.15.ЕС2111.КРБ.2025–ПЗ	Лист
Зм.	Арк.	№ документа	Підпис	Дата		13

$$I_{\phi 1} = \frac{3,43 \cdot 130 \cdot 173,7}{144} = 537,9 \text{ A};$$

$$I_{\phi 2} = \frac{2,4 \cdot 130 \cdot 173,7}{144} = 436,4 \text{ A};$$

$$I_{\phi 3} = \frac{3,13 \cdot 130 \cdot 88,5}{144} = 250,1 \text{ A};$$

$$I_{\phi 4} = \frac{2,2 \cdot 130 \cdot 69,9}{144} = 138,8 \text{ A};$$

$$I_{e\phi 1} = \sqrt{\frac{4 \cdot 3,43 \cdot 130}{3 \cdot 144} \cdot 206,3^2 + \frac{3,43 \cdot \left(3,43 - \frac{4}{3}\right) \cdot 130^2}{144^2} \cdot 173,7^2} = 593,8 \text{ A};$$

$$I_{e\phi 2} = \sqrt{\frac{4 \cdot 2,4 \cdot 130}{3 \cdot 144} \cdot 224,7^2 + \frac{2,4 \cdot \left(2,4 - \frac{4}{3}\right) \cdot 130^2}{144^2} \cdot 201,4^2} = 480,1 \text{ A};$$

$$I_{e\phi 3} = \sqrt{\frac{4 \cdot 3,13 \cdot 130}{3 \cdot 144} \cdot 103,9^2 + \frac{3,13 \cdot \left(3,13 - \frac{4}{3}\right) \cdot 130^2}{144^2} \cdot 88,5^2} = 276,7 \text{ A};$$

$$I_{e\phi 4} = \sqrt{\frac{4 \cdot 2,2 \cdot 130}{3 \cdot 144} \cdot 87,9^2 + \frac{2,2 \cdot \left(2,2 - \frac{4}{3}\right) \cdot 130^2}{144^2} \cdot 69,9^2} = 167,5 \text{ A}.$$

Режим максимальних розмірів руху:

$$I_{\phi 1} = \frac{3,43 \cdot 144 \cdot 173,7}{144} = 595,8 \text{ A};$$

					02.15.ЕС2111.КРБ.2025–ПЗ	Лист
Зм.	Арк.	№ документа	Підпис	Дата		14

$$I_{\phi 2} = \frac{2,4 \cdot 144 \cdot 173,7}{144} = 483,4 \text{ A};$$

$$I_{\phi 3} = \frac{3,13 \cdot 144 \cdot 88,5}{144} = 277 \text{ A};$$

$$I_{\phi 4} = \frac{2,2 \cdot 144 \cdot 69,9}{144} = 153,8 \text{ A};$$

$$I_{e\phi 1} = \sqrt{\frac{4 \cdot 3,43 \cdot 144}{3 \cdot 144} \cdot 206,3^2 + \frac{3,43 \cdot \left(3,43 - \frac{4}{3}\right) \cdot 144^2}{144^2} \cdot 173,7^2} = 641,6 \text{ A};$$

$$I_{e\phi 2} = \sqrt{\frac{4 \cdot 2,4 \cdot 144}{3 \cdot 144} \cdot 224,7^2 + \frac{2,4 \cdot \left(2,4 - \frac{4}{3}\right) \cdot 144^2}{144^2} \cdot 201,4^2} = 515,2 \text{ A};$$

$$I_{e\phi 3} = \sqrt{\frac{4 \cdot 3,13 \cdot 144}{3 \cdot 144} \cdot 103,9^2 + \frac{3,13 \cdot \left(3,13 - \frac{4}{3}\right) \cdot 144^2}{144^2} \cdot 88,5^2} = 298,5 \text{ A};$$

$$I_{e\phi 4} = \sqrt{\frac{4 \cdot 2,2 \cdot 144}{3 \cdot 144} \cdot 87,9^2 + \frac{2,2 \cdot \left(2,2 - \frac{4}{3}\right) \cdot 144^2}{144^2} \cdot 69,9^2} = 178,8 \text{ A}.$$

Середній струм кожного плеча живлення визначається як сума струмів відповідних фідерів підстанції, тобто:

$$I_{nl} = \sum_i^v I_{\phi i}, \quad (1.6)$$

					02.15.ЕС2111.КРБ.2025–ПЗ	Лист
Зм.	Арк.	№ документа	Підпис	Дата		15

де ν – кількість фідерів даного плеча живлення, шт.

Ефективний струм плеча живлення визначається за формулою:

$$I_{пле}^2 = \left(\sum_1^{\nu} I_{\phi i} \right)^2 + \sum_1^{\nu} I_{\phi e i}^2 - \sum_1^{\nu} I_{\phi i}^2. \quad (1.7)$$

Підставляючи значення у формули (1.6) та (1.7) отримаємо необхідні струми для різних режимів.

Режим середніх розмірів руху поїздів:

$$I_{лів} = 310,3 + 251,8 = 562,1 \text{ А};$$

$$I_{нр} = 144,3 + 80,1 = 224,4 \text{ А};$$

$$I_{елів} = \sqrt{562,1^2 + (400,3^2 + 335,1^2) - (310,3^2 + 251,8^2)} = 654,8 \text{ А};$$

$$I_{енр} = \sqrt{224,4^2 + (188,2^2 + 119,7^2) - (144,3^2 + 80,1^2)} = 269,9 \text{ А}.$$

Режим згущення поїздів:

$$I_{лів} = 537,9 + 436,4 = 974,3 \text{ А};$$

$$I_{нр} = 250,1 + 138,8 = 388,9 \text{ А};$$

$$I_{елів} = \sqrt{974,3^2 + (593,8^2 + 480,1^2) - (537,9^2 + 436,4^2)} = 1026 \text{ А};$$

$$I_{енр} = \sqrt{388,9^2 + (276,7^2 + 167,5^2) - (250,1^2 + 138,8^2)} = 417,2 \text{ А}.$$

					02.15.ЕС2111.КРБ.2025–ПЗ	Лист
Зм.	Арк.	№ документа	Підпис	Дата		16

Режим максимальних розмірів руху:

$$I_{лив} = 595,8 + 483,4 = 1079,2 \text{ А};$$

$$I_{нр} = 277 + 153,8 = 430,8 \text{ А};$$

$$I_{елив} = \sqrt{1079,2^2 + (641,6^2 + 515,2^2) - (595,8^2 + 483,4^2)} = 1119,4 \text{ А};$$

$$I_{енр} = \sqrt{430,8^2 + (298,5^2 + 178,8^2) - (277^2 + 153,8^2)} = 454,2 \text{ А}.$$

1.1.2 Струм фази трансформатора підстанції змінного струму

Середній струм фази трансформатора розраховується за формулами:

– для фаз *a* і *c*

$$I_{a(c)} = \frac{1}{3} \cdot \sqrt{4 \cdot I_1^2 + I_2^2 + 2 \cdot I_1 \cdot I_2}; \quad (1.8)$$

– для фази *b*

$$I_b = \frac{1}{3} \cdot \sqrt{I_1^2 + I_2^2 - I_1 \cdot I_2}. \quad (1.9)$$

Ефективні струми фаз трансформатора розраховуються за формулами:

– для фаз *a* і *c*

$$I_{a(c)e}^2 = \frac{1}{9} \cdot (4 \cdot I_{e1}^2 + I_{e2}^2 + 2 \cdot I_1 \cdot I_2); \quad (1.10)$$

					02.15.ЕС2111.КРБ.2025–ПЗ	Лист
Зм.	Арк.	№ документа	Підпис	Дата		17

– для фази *b*

$$I_{be}^2 = \frac{1}{9} \cdot (I_{e1}^2 + I_{e2}^2 - 2 \cdot I_1 \cdot I_2), \quad (1.11)$$

де I_1 , I_{e1} – середній та ефективний струми того плеча живлення, яке живиться від розрахункової фази, А;

I_2 , I_{e2} – середній та ефективний струми того плеча живлення, яке живиться від суміжного плеча живлення, А.

Підставляючи значення у формули (1.8) - (1.11) отримаємо необхідні струми для різних режимів.

Режим середніх розмірів руху поїздів:

$$I_a = \frac{1}{3} \cdot \sqrt{4 \cdot 562,1^2 + 224,4^2 + 2 \cdot 562,1 \cdot 224,4} = 417,2 \text{ А};$$

$$I_b = \frac{1}{3} \cdot \sqrt{562,1^2 + 224,4^2 - 562,1 \cdot 224,4} = 163,4 \text{ А};$$

$$I_c = \frac{1}{3} \cdot \sqrt{4 \cdot 224,4^2 + 562,1^2 + 2 \cdot 562,1 \cdot 224,4} = 292,4 \text{ А};$$

$$I_{ea} = \frac{1}{3} \cdot \sqrt{4 \cdot 654,8^2 + 269,9^2 + 2 \cdot 562,1 \cdot 224,4} = 476,1 \text{ А};$$

$$I_{eb} = \frac{1}{3} \cdot \sqrt{654,8^2 + 269,9^2 - 562,1 \cdot 224,4} = 204,3 \text{ А};$$

$$I_{ec} = \frac{1}{3} \cdot \sqrt{4 \cdot 269,9^2 + 654,8^2 + 2 \cdot 562,1 \cdot 224,4} = 328,7 \text{ А}.$$

					02.15.ЕС2111.КРБ.2025–ПЗ	Лист
Зм.	Арк.	№ документа	Підпис	Дата		18

Режим згущення поїздів:

$$I_a = \frac{1}{3} \cdot \sqrt{4 \cdot 974,2^2 + 388,9^2 + 2 \cdot 974,2 \cdot 388,9} = 723,1 \text{ А};$$

$$I_b = \frac{1}{3} \cdot \sqrt{974,2^2 + 388,9^2 - 974,2 \cdot 388,9} = 283,1 \text{ А};$$

$$I_c = \frac{1}{3} \cdot \sqrt{4 \cdot 388,9^2 + 974,2^2 + 2 \cdot 974,2 \cdot 388,9} = 506,8 \text{ А};$$

$$I_{ea} = \frac{1}{3} \cdot \sqrt{4 \cdot 1025,9^2 + 417,2^2 + 2 \cdot 974,2 \cdot 388,9} = 755,8 \text{ А};$$

$$I_{eb} = \frac{1}{3} \cdot \sqrt{1025,9^2 + 417,2^2 - 974,2 \cdot 388,9} = 306,9 \text{ А};$$

$$I_{ec} = \frac{1}{3} \cdot \sqrt{4 \cdot 417,2^2 + 1025,9^2 + 2 \cdot 974,2 \cdot 388,9} = 527,7 \text{ А}.$$

Режим максимальних розмірів руху поїздів:

$$I_a = \frac{1}{3} \cdot \sqrt{4 \cdot 1079,2^2 + 430,8^2 + 2 \cdot 1079,2 \cdot 430,8} = 801 \text{ А};$$

$$I_b = \frac{1}{3} \cdot \sqrt{1079,2^2 + 430,8^2 - 974,2 \cdot 430,8} = 313,6 \text{ А};$$

$$I_c = \frac{1}{3} \cdot \sqrt{4 \cdot 430,8^2 + 1079,2^2 + 2 \cdot 974,2 \cdot 430,8} = 561,4 \text{ А};$$

					02.15.ЕС2111.КРБ.2025–ПЗ	Лист
Зм.	Арк.	№ документа	Підпис	Дата		19

$$I_{ea} = \frac{1}{3} \cdot \sqrt{4 \cdot 1119,4^2 + 454,2^2 + 2 \cdot 1119,4 \cdot 430,8} = 826,5 \text{ А};$$

$$I_{eb} = \frac{1}{3} \cdot \sqrt{1119,4^2 + 454,2^2 - 974,2 \cdot 430,8} = 332,4 \text{ А};$$

$$I_{ec} = \frac{1}{3} \cdot \sqrt{4 \cdot 454,2^2 + 1119,4^2 + 2 \cdot 974,2 \cdot 430,8} = 578,1 \text{ А}.$$

Результати розрахунку струморозподілу заносимо в таблицю 1.1.

Таблиця 1.1 – Результати розрахунку струморозподілу

Приєднання	Середні розміри руху		Режим згущення поїздів		Максимальний режим	
	середній струм, А	ефективний струм, А	середній струм, А	ефективний струм, А	середній струм, А	ефективний струм, А
Фідер 1	310,3	400,3	537,9	593,8	595,8	641,6
Фідер 2	251,8	335,1	436,4	480,1	483,4	515,2
Фідер 3	144,3	188,2	250,1	276,7	277	298,5
Фідер 4	80,1	119,7	138,8	167,5	153,8	178,8
Ліве плече	562,1	654,8	974,2	1025,9	1079,2	1119,4
Праве плече	224,4	269,9	388,9	417,2	430,8	454,2
Фаза «а»	417,2	476,1	723,1	755,8	801	826,5
Фаза «b»	163,3	204,3	283,1	306,9	313,6	332,4
Фаза «с»	292,4	328,7	506,8	527,7	561,4	578,1

1.1.3 Переріз контактної мережі

Зі збільшенням перерізу проводів контактної мережі зменшуються витрати, пов'язані з оплатою втрат електроенергії в тяговій мережі, але зростають

капітальні витрати. Таким чином, змінюючи переріз проводів контактної мережі, за деякого значення досягається оптимум, коли приведені щорічні витрати найменші. Такий переріз контактної мережі є економічно доцільним та визначається виразом:

$$F_{\text{ме}} = 0,46\sqrt{B_0}, \quad (1.12)$$

де $F_{\text{ме}}$ – переріз проводів контактної мережі у мідному еквіваленті, мм²;

B_0 – питомі річні втрати електроенергії в проводах контактної мережі на фідерній зоні, кВт·год/Ом·рік:

$$B_0 = \frac{\Delta W_p}{r\ell}, \quad (1.13)$$

де ΔW_p – річні втрати електроенергії в проводах контактної мережі на міжпідстанційній зоні, кВт·год;

ℓ – довжина міжпідстанційної зони, км;

r – питомий опір проводів контактної мережі на міжпідстанційній зоні, Ом/км.

1.1.4 Визначення питомих річних втрат електроенергії

Схема живлення контактної мережі на двоколійних та багатоколійних ділянках повинна передбачати підключення постів секціонування та пунктів паралельного з'єднання контактних підвісок. Для визначення B_0 для вузлової схеми живлення можна скористатись виразом:

					02.15.ЕС2111.КРБ.2025–ПЗ	Лист
Зм.	Арк.	№ документа	Підпис	Дата		21

$$B_0 = \frac{0,0228 \cdot W_T^2}{TU_{ном}^2} \left[\begin{array}{l} 2,95 \left[\frac{T}{N_{нар}t_{снар} + N_{неп}t_{снеп}} + 0,46 \left(0,25 - \frac{\theta}{t_{нар} + t_{неп}} \right) \right] \\ \frac{4}{3} \frac{\theta}{t_{нар} + t_{неп}} \left(1,1 \frac{N_{0нар}t_{нар} + N_{0неп}t_{неп}}{N_{нар}t_{снар} + N_{неп}t_{снеп}} - 1 \right) + 1 \end{array} \right]. \quad (1.14)$$

Для трьохвузлової схеми живлення значення B_0 можна визначити як для схеми паралельного з'єднання підвісок, тобто:

$$B_0 = \frac{0,067 \cdot W_T^2}{TU_{ном}^2} \left[\frac{T}{N_{нар}t_{снар} + N_{неп}t_{снеп}} + 0,46 \left(1 - \frac{\theta}{t_{нар} + t_{неп}} \right) \right]. \quad (1.15)$$

У формулах (1.14), (1.15) застосовані такі позначення:

T – розрахунковий період, год;

$U_{ном}$ – номінальна напруга на струмоприймачеві електровоза, кВ;

$t_{нар}$, $t_{неп}$ – час руху поїзда міжпідстанційною зоною в парному, непарному напрямку, год;

$t_{снар}$, $t_{снеп}$ – час споживання електроенергії поїздом у парному, непарному напрямку, год;

$N_{нар}$, $N_{неп}$ – середньодобова кількість поїздів у парному, непарному напрямку;

$N_{0нар}$, $N_{0неп}$ – максимальна пропускна спроможність ділянки в парному, непарному напрямку;

W_T – витрати електроенергії на тягу поїздів за період T , кВт·год, з урахуванням припущення про однотипність поїздів:

$$W_T = W_{нар}N_{нар} + W_{неп}N_{неп}, \quad (1.16)$$

						02.15.ЕС2111.КРБ.2025–ПЗ	Лист
Зм.	Арк.	№ документа	Підпис	Дата			22

де $W_{нар}$, $W_{неп}$ – витрати електроенергії на рух поїзда в парному, непарному напрямку, кВт·год:

$$W_{нар(неп)} = I_{нар(неп)} \cdot U_{ном} \cdot t_{нар(неп)}, \quad (1.17)$$

де $I_{нар}$, $I_{неп}$ – середні струми поїздів під час руху розрахунковою міжпідстанційною зоною, А.

Підставляючи значення у формули (1.12) - (1.17) отримаємо результати для різних схем живлення:

$$I_{неп} = \frac{1}{2 \cdot 34,2} \left[(135 + 150)4,2 + (150 + 180)6,2 + (180 + 285)5 + (285 + 240)3,8 + (240 + 180)2,5 + (180 + 150)3,8 + (150 + 180)2,5 + (180 + 195)5,5 \right]$$

$$I_{неп} = 186,5 \text{ А};$$

$$I_{нар} = \frac{1}{2 \cdot 31,3} \left[(240 + 240)0,6 + (240 + 210)3,8 + (210 + 120)5,4 + (180 + 210)4,3 + (210 + 180)8,1 + (180 + 270)7,1 + (270 + 240)0,6 \right]$$

$$I_{нар} = 193,6 \text{ А}.$$

Витрати електроенергії на рух поїзда у парному і непарному напрямках становитимуть:

$$W_{неп} = 186,5 \cdot 25 \cdot 0,558 = 2601,7 \text{ кВт·год};$$

$$W_{нар} = 193,6 \cdot 25 \cdot 0,497 = 2405,5 \text{ кВт·год}.$$

Витрата електроенергії на рух поїздів:

$$W_m = 2601,7 \cdot 75 + 2405,5 \cdot 75 = 375540 \text{ кВт·год}.$$

					02.15.ЕС2111.КРБ.2025–ПЗ	Лист
						23
Зм.	Арк.	№ документа	Підпис	Дата		

Тоді для вузлової схеми:

$$B_0 = \frac{0,0228 \cdot 375540^2}{24 \cdot 25^2} \left[2,95 \left[\frac{24}{75 \cdot 0,558 + 75 \cdot 0,497} + 0,46 \left(0,25 - \frac{0,167}{0,57 + 0,522} \right) \right] \right]$$

$$B_0 = 486259,4 \frac{\text{кВт} \cdot \text{год}}{\text{Ом} \cdot \text{рік}}.$$

Таким чином, визначимо переріз проводів контактної мережі у мідному еквіваленті:

$$F_{me} = 0,46 \sqrt{486259} = 320,8 \text{ мм}^2 - \text{ для двоколіїної ділянки.}$$

$$F_{me} = \frac{320,8}{2} = 160,4 \text{ мм}^2 - \text{ для однієї колії.}$$

Для трьохвузлової схеми:

$$B_0 = \frac{0,067 \cdot 375540^2}{24 \cdot 25^2} \left[\frac{24}{75 \cdot 0,558 + 75 \cdot 0,497} + 0,46 \left(1 - \frac{0,167}{0,57 + 0,522} \right) \right]$$

$$B_0 = 436526 \frac{\text{кВт} \cdot \text{год}}{\text{Ом} \cdot \text{рік}}.$$

$$F_{me} = 0,46 \sqrt{436526} = 303,9 \text{ мм}^2 - \text{ для двоколіїної ділянки.}$$

$$F_{me} = \frac{303,9}{2} = 151,9 \text{ мм}^2 - \text{ для однієї колії.}$$

Згідно з отриманим перерізом, обирається тип контактної підвіски М95+МФ-100. Данні обраної підвіски заносяться до табл. 1.2.

Таблиця 1.2 – Параметри контактної мережі

Тип підвіски	Переріз у мідному еквіваленті, мм ²	Тривалий допустимий струм при 15 %-му зношенні контактних проводів, А
М-95 + МФ-100	195	1060

1.1.5 Перевірка контактної підвіски за нагрівом

Прийнятий у проекті переріз контактної підвіски повинен бути перевірений на термічну стійкість. Для цього необхідно вибрати найбільш завантажену міжпідстанційну зону.

В умовах проекту використовується спосіб перевірки контактної підвіски за розрахунковим струмом, який треба порівняти з допустимим для обраної підвіски. Контактна підвіска перевіряється в місці підключення споживаючого фідера для роздільної роботи колій (незалежно від дійсної схеми з'єднання підвісок) та 20-хвилинного періоду інтенсивного струмоспоживання.

Розрахунковий струм фідера:

$$I_{роз} = I_{фід} k'_{i20} k_{\phi}, \quad (1.18)$$

де k_{ϕ} – коефіцієнт, що враховує вплив зміни навантаження під час 20-хвилинного періоду найбільшого струмоспоживання на нагрів проводів контактної підвіски:

$$k_{\phi} = \frac{0,36\alpha^2}{n_0} + 1, \quad (1.19)$$

де α – відношення часу руху поїзда міжпідстанційною зоною до часу струмоспоживання,

$$\alpha = \frac{t}{t_c}, \quad (1.20)$$

k'_{i20} – коефіцієнт інтенсивності 20-хвилинного навантаження фідера, який визначається в залежності від добової витрати електроенергії фідером у добу інтенсивного електроспоживання.

					02.15.ЕС2111.КРБ.2025–ПЗ	Лист
Зм.	Арк.	№ документа	Підпис	Дата		25

Підставляючи значення у формули (1.18) - (1.20) отримаємо результати розрахунків.

$$\alpha = \frac{0,57}{0,558} = 1,022 ;$$

$$k_{\phi} = \frac{0,36 \cdot 1,022^2}{3,43} + 1 = 1,11 ;$$

$$I_{роз} = 537,9 \cdot 2,2 \cdot 1,11 = 1314 \text{ А} > 1060 \text{ А}.$$

Умова перерізу контактної підвіски за нагрівом не виконується, тому приймаємо тип контактної підвіски М95+МФ-100+А185, для якої тривалий допустимий струм при 15% зношенні контактного проводу - 1440 А.

Для даної підвіски умова перерізу контактної підвіски за нагрівом виконується.

1.2 Механічний розрахунок анкерної ділянки

Довжина еквівалентного прогону

$$l_e = \sqrt{\frac{\sum_{i=1}^n l_i^3}{l_a}}, \quad (1.21)$$

де l_i – довжина i -го прогону, м;

l_a – довжина анкерної ділянки, м.

Підставляючи значення у формулу (1.21) отримаємо:

					02.15.ЕС2111.КРБ.2025–ПЗ	Лист
Зм.	Арк.	№ документа	Підпис	Дата		26

$$l_e = \sqrt{\frac{5 \cdot 55^3 + 4 \cdot 60^3 + 5 \cdot 65^3 + 6 \cdot 70^3}{5 \cdot 55 + 4 \cdot 60 + 5 \cdot 65 + 6 \cdot 70}} = 63,8 \text{ м.}$$

Розрахунковий режим визначається за формулою:

$$l_{кр} = T_{\max} \cdot \sqrt{\frac{24 \cdot \alpha (t_{\Gamma} - t_{\min})}{q_{\text{нр}}^2 - g_0^2}}, \quad (1.22)$$

де α – коефіцієнт температурного лінійного розширення матеріалу тросу, $1/^\circ\text{C}$.

Підставляючи значення у формулу (1.22) отримаємо:

$$l_{кр} = 1600 \cdot \sqrt{319 \cdot 10^{-6} \cdot \frac{(-5 - (-35))}{1,918^2 - 1,559^2}} = 140,1 \text{ м.}$$

Так як $l_{кр} > l_e$ отже розрахунковим буде режим мінімальної температури.

Натяг навантаженого несучого тросу:

$$t_x = A + \frac{B}{T_x^2} - \frac{T_x}{\alpha ES}; \quad (1.23)$$

$$A = t_{\text{реж}} - \frac{q_{\text{реж}}^2 l_e^2}{24 \alpha T_{\max}^2} + \frac{T_{\max}}{\alpha ES}; \quad (1.24)$$

$$B = \frac{g_0^2 l_e^2}{24 \alpha}, \quad (1.25)$$

					02.15.ЕС2111.КРБ.2025–ПЗ	Лист
Зм.	Арк.	№ документа	Підпис	Дата		27

де αES – добуток коефіцієнта температурного лінійного розширення матеріалу троса, модуля пружності Юнга та площі поперечного перерізу, даН/°С.

Підставляючи значення у формули (1.23)-(1.25) отримаємо:

$$A = -35 - \frac{1,559^2 \cdot 63,8^2}{319 \cdot 10^{-6} \cdot 1600^2} + \frac{1600}{16,48} = 49,97 \text{ } ^\circ\text{C}$$

$$B = \frac{1,559^2 \cdot 63,8^2}{319 \cdot 10^{-6}} = 31012938 \text{ даН}^2 \cdot ^\circ\text{C}$$

Змінюючи натяг несучого троса від максимального до 200 даН з кроком 200 даН заповнюємо таблицю 1.3.

Таблиця 1.3 – Результати розрахунків

T_x , даН	1600	1400	1200	1000	800	600	400	200
t_x , °С	-35	-19,2	-1,3	20,3	49,9	99,7	219,5	813,2

Температура, при якій контактний провід не має стріли прогину

$$t_0 = t_{сер} - \Delta t ; \quad (1.26)$$

$$t_{сер} = \frac{t_{max} + t_{min}}{2} , \quad (1.27)$$

де $\Delta t = 10 \dots 15^\circ\text{C}$ (для одного контактного проводу);

Підставляючи значення у формули (1.26)-(1.27) отримаємо:

$$t_{сер} = \frac{30 + (-35)}{2} = -2,5 \text{ } ^\circ\text{C}.$$

$$t_0 = -2,5 - 10 = -12,5 \text{ } ^\circ\text{C}.$$

Натяг несучого троса, при якому відсутній прогин контактної провладу:

$$t_0 = A + \frac{B}{T_0^2} - \frac{T_0}{\alpha ES}. \quad (1.28)$$

Значення T_0 підбираємо ітераційним методом: $T_0 = 1322$ даН.

Натяг несучого троса при ожеледі з вітром:

$$t_2 = A + \frac{B_2}{T_2^2} - \frac{T_2}{\alpha ES}; \quad (1.29)$$

$$B_2 = \frac{q_{нз}^2 \ell_e^2}{24\alpha}. \quad (1.30)$$

Підставляючи значення у формули (1.29)-(1.30) отримаємо:

$$B_2 = \frac{1,918^2 \cdot 63,8^2}{319 \cdot 10^{-6}} = 46940519 \text{ даН}^2 \cdot ^\circ\text{C}$$

$$T_2 = 1339 \text{ даН}.$$

Натяг несучого троса при максимальній швидкості вітру:

$$t_v = A + \frac{B_v}{T_v^2} - \frac{T_v}{\alpha ES}; \quad (1.31)$$

$$B_v = \frac{q_{нв}^2 \ell_e^2}{24\alpha}. \quad (1.32)$$

					02.15.ЕС2111.КРБ.2025–ПЗ	Лист
						29
Зм.	Арк.	№ документа	Підпис	Дата		

Підставляючи значення у формули (1.31)-(1.32) отримаємо:

$$B_v = \frac{2,064^2 \cdot 63,8^2}{319 \cdot 10^{-6}} = 54358827 \text{ даН}^2 \cdot \text{°C}$$

$$T_v = 1285 \text{ даН.}$$

Стріла прогину контактного проводу:

$$f_{xi} = \frac{g_0(\ell_n - 2e_n)^2}{8(T_x + nK)} \left(1 - \frac{T_x}{T_0}\right), \quad (1.33)$$

де e_n – відстань від осі опори до опорної струни в прогоні ℓ_n , м;

ℓ_n – прогін, в якому розташовується пішохідний місток, м.

Підставляючи значення у формулу (1.33) отримаємо:

$$f_{xi} = \frac{1,559(70 - 2 \cdot 10)^2}{8(1600 + 1000)} \left(1 - \frac{1600}{1322}\right) = -0,039 \text{ м.}$$

Стріла прогину навантаженого несучого троса:

$$F_{xn} = \frac{1}{T_x} \left(\frac{g_0 \ell_n^2}{8} + b_n H - f_{xn} K n \right), \quad (1.34)$$

де b_n – відстань між несучим та ресорним тросом по осі опори в прогоні ℓ_n , м;

H – натяг ресорного троса, даН.

Підставляючи значення у формулу (1.34) отримаємо:

					02.15.ЕС2111.КРБ.2025–ПЗ	Лист
Зм.	Арк.	№ документа	Підпис	Дата		30

$$F_{xn} = \frac{1}{1600} \left(\frac{1,559 \cdot 70^2}{8} + 0,7 \cdot 150 - (-0,039)1000 \right) = 0,687 \text{ м.}$$

Натяг ненавантаженого несучого троса:

$$t_x = A + \frac{B_p}{T_{px}^2} - \frac{T_{px}}{\alpha ES}; \quad (1.35)$$

$$B_p = \frac{g_n^2 \ell_e^2}{24\alpha}. \quad (1.36)$$

Підставляючи значення у формули (1.35)-(1.36) отримаємо:

$$B_p = \frac{0,586^2 \cdot 63,8^2}{319 \cdot 10^{-6}} = 4381734 \text{ даН}^2 \cdot \text{°С}$$

$$T_{px} = 1435 \text{ даН.}$$

Стріла прогину ненавантаженого несучого троса

$$F_{pxn} = \frac{g_n \ell_n^2}{8T_{px}}. \quad (1.37)$$

Підставляючи значення у формулу (1.37) отримаємо:

$$F_{pxn} = \frac{0,586^2 \cdot 70^2}{8 \cdot 1435} = 0,25 \text{ м.}$$

Результати виконаних розрахунків зводяться до табл. 1.4.

					02.15.ЕС2111.КРБ.2025–ПЗ	Лист
Зм.	Арк.	№ документа	Підпис	Дата		31

Таблиця 1.4 – Монтажна Таблиця

$t_x, ^\circ\text{C}$	-35	-20	-12,5	-10	0	10	20	30
$T_x, \text{даН}$	1600	1410	1322	1295	1190	1090	1005	925
$f_x, \text{м}$	-0,039	-0,013	0	0,004	0,022	0,041	0,058	0,076
$F_{\text{хп}}, \text{м}$	0,687	0,761	0,802	0,815	0,872	0,935	0,997	1,064
$T_{\text{рх}}, \text{даН}$	1435	1201	1090	1055	907	780	660	560
$F_{\text{рх}}, \text{м}$	0,25	0,299	0,329	0,34	0,396	0,46	0,544	0,641

По результатам таблиці 1.4 будемо монтажні криві на рис.1.3.

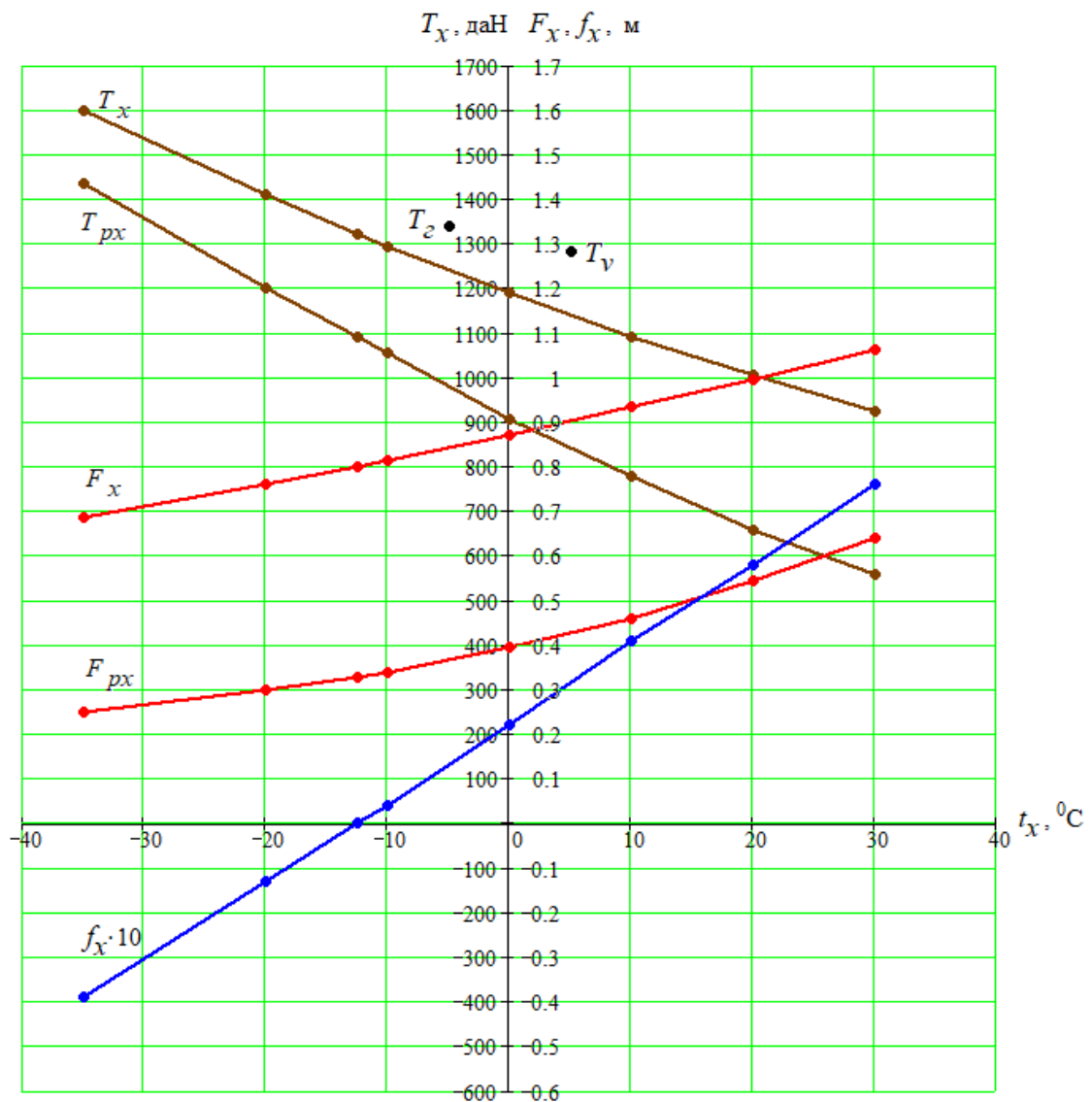


Рисунок 1.3 – Монтажні криві

Зм.	Арк.	№ документа	Підпис	Дата

2 ЕЛЕКТРИЧНІ ПІДСТАНЦІЇ ТА СТАНЦІЇ

2.1 Розрахунок потужності трансформаторів

Зобразимо структурну схему розрахункової підстанції на рис.2.1.

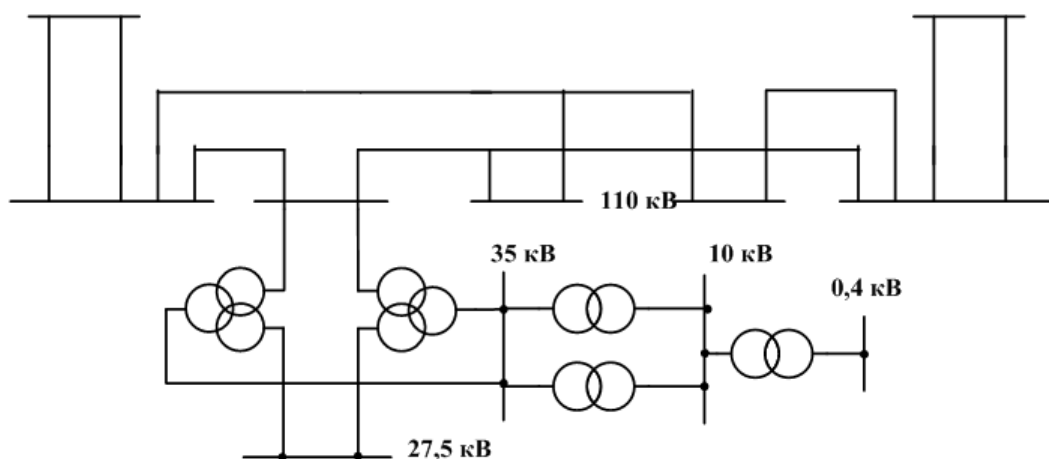


Рисунок 2.1 – Структурна схема розрахункової ТП

Максимальна потужність на шинах 27,5 кВ:

$$S_{\max 27,5} = S_T + S_{\text{дпр}}, \quad (2.1)$$

де S_T - потужність тягового навантаження на шинах 27,5 кВ (кВА);

$S_{\text{дпр}}$ - потужність не тягових споживачів, які живляться від шин 27,5 кВ (кВА);

Потужність тягового навантаження:

$$S_T = U_{\text{ш}} (2I'_d + 0,65I''_d) k_{\text{нр}} k_{\text{кУ}}, \quad (2.2)$$

де $U_{\text{ш}}$ - напруга на шинах РП 27,5 кВ;

I'_d - ефективний струм найбільш завантаженого плеча (фази) трансформатору, А;

					02.15.ЕС2111.КРБ.2025–ПЗ	Лист
Зм.	Арк.	№ документа	Підпис	Дата		33

I''_d - ефективний струм найменш завантаженого плеча (фази) трансформатору, А;

k_{np} - коефіцієнт різночасності навантаження фаз трансформатора, приймається 0,9;

$k_{ку}$ - коефіцієнт компенсованого пристрою, який враховує зниження потрібної на тягу потужності при роботі компенсованого пристрою, (приймається 0,93).

Або перетворивши формулу (2.2) отримаємо:

$$S_T = (2S' + 0,65S'')k_{np}k_{ку};$$

$$S_T = (2 \cdot 8,5 + 0,65 \cdot 7,9)0,9 \cdot 0,93 = 18,53 \text{ МВА} = 18530 \text{ кВА}.$$

Потужність фідера ДПР знаходиться по заданій потужності в кВА на 1 км:

$$S_{дпр} = S_{дпр1} \cdot L = 25 \cdot 10 = 250 \text{ кВА}.$$

Відповідно до (2.1) отримаємо:

$$S_{\max 27,5} = 18530 + 250 = 18780 \text{ кВА}.$$

Потужність на шинах 35 кВ. Згідно вихідних даних потужність нетягового навантаження на шинах 35 кВ складає 20 % від тягового навантаження, а на шинах 10 кВ – 10 %.

$$S_{\max 35} = 0,2 \cdot 18780 = 3756 \text{ кВА}.$$

					02.15.ЕС2111.КРБ.2025–ПЗ	Лист
Зм.	Арк.	№ документа	Підпис	Дата		34

Потужність на шинах 10 кВ. Маємо транзитну підстанцію, отже потужність ТВП приймаємо 400 кВА.

$$S_{ш. max10} = S'_{10} + S_{тсн}.$$

$$S_{ш. max10} = 1878 + 400 = 2278 \text{ кВА.}$$

У відповідності до потужності на шинах 10 кВ приймаємо районний трансформатор типу ТМ-2500/35 У1. Тоді отримаємо:

$$S_{ш. max 35} = (S_{PT} + S_{max35})k_p;$$

$$S_{ш. max 35} = (2500 + 3756) \cdot 0,95 = 5943,2 \text{ кВА.}$$

Розрахункова потужність головного понижуючого трансформатора:

$$S_{розрах. max} = (S_{ш. max 27,5} + S_{ш. max 35})k_p;$$

$$S_{розрах. max} = (19180 + 5943,2) \cdot 0,95 = 23867 \text{ кВА.}$$

Результати вибору трансформаторів зведемо до таблиці 2.1.

Таблиця 2.1 – Вибрані трансформатори та їх паспортні дані

№ п/п	Тип трансформатора	Кількість	U ₁ , кВ	U ₂ , кВ	U ₃ , кВ	U _к , %			Схема з'єднання
						В-С	В-Н	С-Н	
1	ТДТНЖ 25000/110 У1	2	115	38,5	27,5	18	10,5	6,8	Y ₀ /Y _Н /Δ ₀ -11
2	ТМ - 2500/35 У1	2	35		10,5		6,5		Y/Δ-11
3	ТМ-400/10 У1	2	10		0,4		4,5		Y/Y ₀ -0

Потужність підстанції:

$$S_{\text{П}} = 4 \cdot 25000 = 100000 \text{ кВА.}$$

2.2 Розрахунок струмів к.з.

Схема заміщення представлена на рис.2.2.

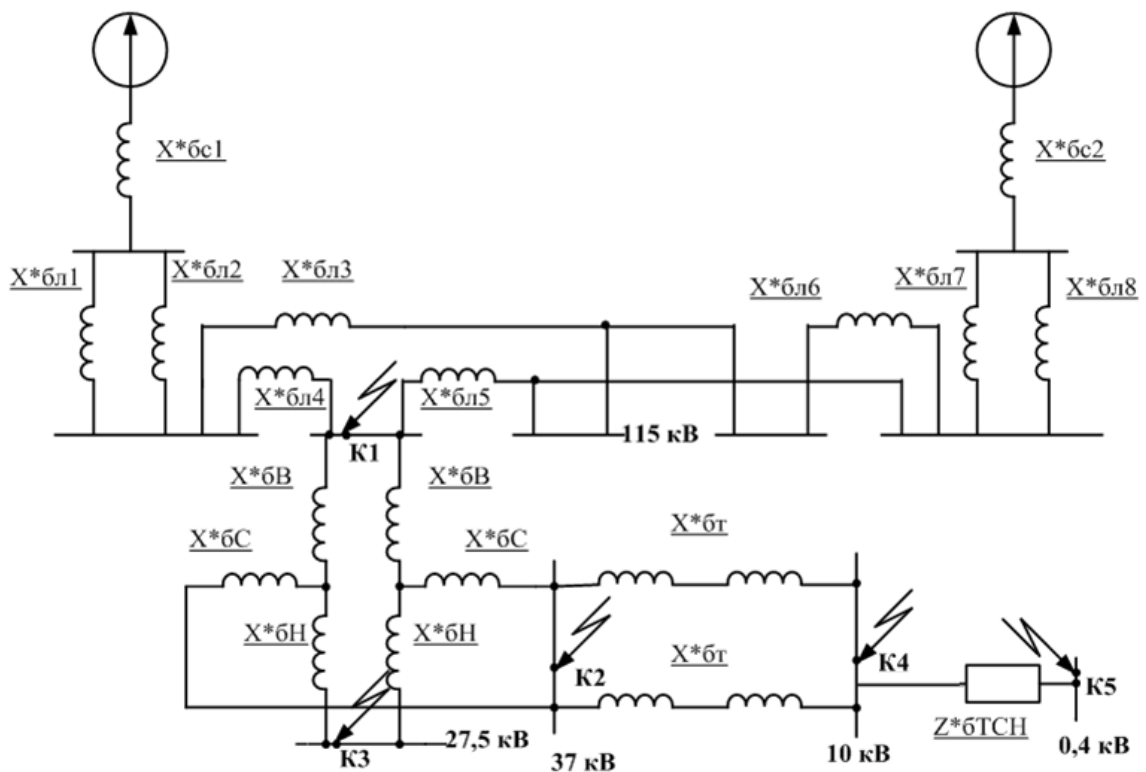


Рисунок 2.2 – Схема заміщення

Приймаємо базисну потужність $S_{\text{б}} = 100 \text{ МВА.}$

Як базисну напругу приймаємо середню лінійну напругу тієї ступені, де проводиться розрахунок струму к.з.

$$U_{\text{ср.л.110}} = 115 \text{ кВ, } U_{\text{ср.л.35}} = 37 \text{ кВ, } U_{\text{ср.л.25}} = 26,2 \text{ кВ, } U_{\text{ср.л.0,4}} = 0,4 \text{ кВ.}$$

Базисний струм знаходимо за формулою:

$$I_{\text{б}} = \frac{S_{\text{б}}}{\sqrt{3} \cdot U_{\text{ср}}} \quad (2.3)$$

Зм.	Арк.	№ документа	Підпис	Дата

Струм короткого замикання визначимо по формулі:

$$I_k = \frac{I_{\bar{6}}}{x_{*\bar{6}}} . \quad (2.4)$$

Базисний опір системи має таку формулу:

$$x_{*\bar{6}сист} = \frac{S_{\bar{6}}}{S_k} . \quad (2.5)$$

Схема заміщення до точки к1 представлена на рис.2.3.

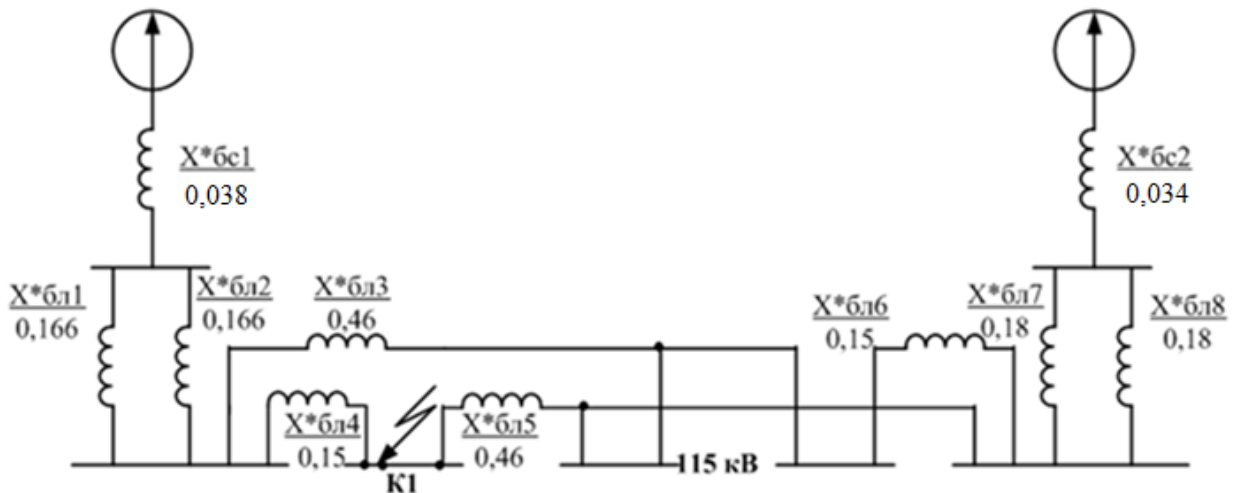


Рисунок 2.3 – Схема заміщення до точки к1

Відповідно до (2.5) базисний опір системи 1:

$$x_{*\bar{6}сист1} = \frac{100}{2600} = 0,038 .$$

Базисний опір системи 2:

$$x_{*\bar{6}сист2} = \frac{100}{2900} = 0,034 .$$

Базисний струм:

$$I_{\text{б1}} = \frac{S_{\bar{\sigma}}}{\sqrt{3} \cdot U_{\text{cp.ш.110}}} = \frac{100}{\sqrt{3} \cdot 115} = 0,502 \text{ кА.}$$

Опори ліній:

$$X_{*\text{бл1}} = X_{*\text{бл2}} = X_0 \cdot L_5 \cdot \frac{S_{\bar{\sigma}}}{U_{\text{cp}}^2} = 0,4 \cdot 55 \cdot \frac{100}{115^2} = 0,166 ;$$

$$X_{*\text{бл3}} = X_0 \cdot (L_1 + L_2 + L_3) \cdot \frac{S_{\bar{\sigma}}}{U_{\text{cp}}^2} = 0,4 \cdot (50 + 50 + 52) \cdot \frac{100}{115^2} = 0,46 ;$$

$$X_{*\text{бл4}} = X_0 \cdot L_1 \cdot \frac{S_{\bar{\sigma}}}{U_{\text{cp}}^2} = 0,4 \cdot 50 \cdot \frac{100}{115^2} = 0,15 ;$$

$$X_{*\text{бл5}} = X_0 \cdot (L_2 + L_3 + L_4) \cdot \frac{S_{\bar{\sigma}}}{U_{\text{cp}}^2} = 0,4 \cdot (50 + 52 + 49) \cdot \frac{100}{115^2} = 0,46 ;$$

$$X_{*\text{бл6}} = X_0 \cdot L_4 \cdot \frac{S_{\bar{\sigma}}}{U_{\text{cp}}^2} = 0,4 \cdot 49 \cdot \frac{100}{115^2} = 0,15 ;$$

$$X_{*\text{бл7}} = X_{*\text{бл8}} = X_0 \cdot L_6 \cdot \frac{S_{\bar{\sigma}}}{U_{\text{cp}}^2} = 0,4 \cdot 60 \cdot \frac{100}{115^2} = 0,18 .$$

Будемо поступово згортати схему до точки к1 (рис.2.4):

$$X_{*\text{бл9}} = 0,5X_{*\text{бл1}} = 0,5 \cdot 0,166 = 0,083 ;$$

					02.15.ЕС2111.КРБ.2025–ПЗ	Лист
Зм.	Арк.	№ документа	Підпис	Дата		38

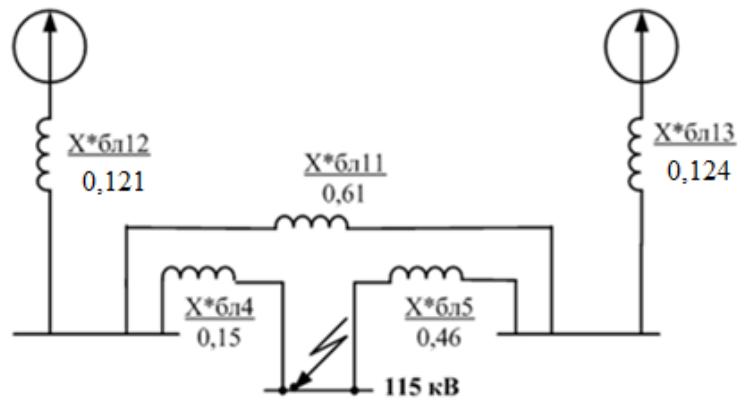


Рисунок 2.4 – Перетворена схема заміщення до точки к1

$$X_{*бл10} = 0,5X_{*бл7} = 0,5 \cdot 0,18 = 0,09 ;$$

$$X_{*бл11} = X_{*бл3} + X_{*бл6} = 0,46 + 0,15 = 0,61 ;$$

$$X_{*бл12} = X_{*бл1} + X_{*бл9} = 0,038 + 0,083 = 0,121 ;$$

$$X_{*бл13} = X_{*бл2} + X_{*бл10} = 0,034 + 0,09 = 0,124 .$$

Після деяких перетворень отримаємо схему на рис. 2.5.

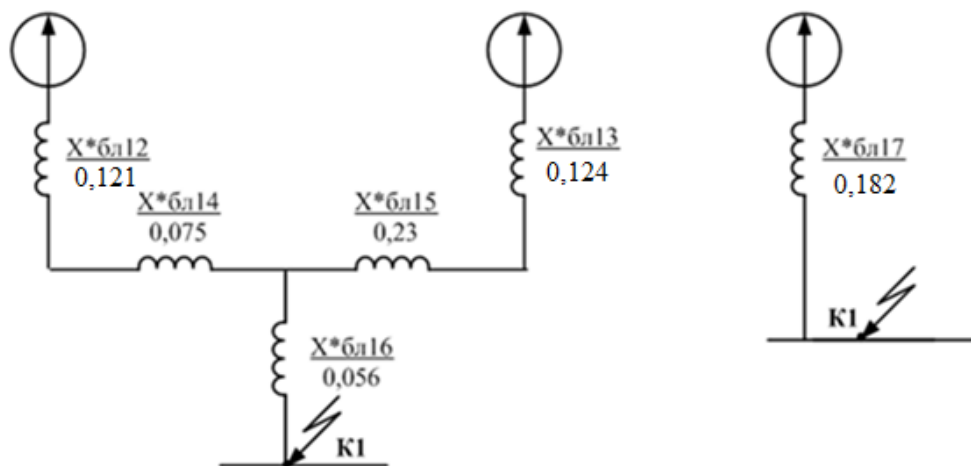


Рисунок 2.5 – Згорнута схема заміщення до точки к1

Зм.	Арк.	№ документа	Підпис	Дата

$$X_{*бл14} = \frac{X_{*бл4} \cdot X_{*бл11}}{X_{*бл4} + X_{*бл5} + X_{*бл11}} = \frac{0,15 \cdot 0,61}{0,15 + 0,61 + 0,46} = 0,075 ;$$

$$X_{*бл15} = \frac{X_{*бл5} \cdot X_{*бл11}}{X_{*бл4} + X_{*бл5} + X_{*бл11}} = \frac{0,46 \cdot 0,61}{0,15 + 0,61 + 0,46} = 0,23 ;$$

$$X_{*бл16} = \frac{X_{*бл4} \cdot X_{*бл5}}{X_{*бл4} + X_{*бл5} + X_{*бл11}} = \frac{0,15 \cdot 0,46}{0,15 + 0,61 + 0,46} = 0,056 ;$$

$$X_{*бл17} = X_{*бл16} + \frac{(X_{*бл12} + X_{*бл14}) \cdot (X_{*бл13} + X_{*бл15})}{X_{*бл12} + X_{*бл14} + X_{*бл13} + X_{*бл15}} =$$

$$= 0,056 + \frac{(0,121 + 0,075) \cdot (0,124 + 0,23)}{0,121 + 0,075 + 0,124 + 0,23} = 0,182 .$$

Знайдемо струм короткого замикання в точці К1 відповідно до (2.4):

$$I_{к1} = \frac{I_{б1}}{X_{*бк1}} = \frac{0,502}{0,182} = 2,76 \text{ кА} .$$

Знайдемо ударний струм в точці К1:

$$i_{y1} = 2,55 \cdot I_{к1} = 2,55 \cdot 2,76 = 7,04 \text{ кА} ;$$

$$I_{Кусм1} = 1,52 \cdot I_{к1} = 1,52 \cdot 2,76 = 4,2 \text{ кА} .$$

Розрахунок струмів КЗ до точки К2, на шинах 35 кВ.

Знайдемо напруги обмоток трансформатора:

$$u_{кв} = 0,5 \cdot (u_{квс} + u_{квн} - u_{кчн}) = 0,5 \cdot (10,5 + 18 - 6,5) = 10,75 ;$$

					02.15.ЕС2111.КРБ.2025–ПЗ	Лист
Зм.	Арк.	№ документа	Підпис	Дата		40

$$u_{кН} = 0,5 \cdot (u_{кВН} + u_{кСН} - u_{кВС}) = 0,5 \cdot (18 + 6,5 - 10,5) = 6,75 ;$$

$$u_{кС} = 0,5 \cdot (u_{кВС} + u_{кСН} - u_{кВН}) = 0,5 \cdot (10,5 + 6,5 - 18) = -0,25 .$$

Визначимо опір обмоток трансформатора:

$$X_{*6B} = \frac{u_{кВ}}{100} \cdot \frac{S_{\delta}}{S_{номтр}} = \frac{10,75}{100} \cdot \frac{100}{25} = 0,43 ;$$

$$X_{*6H} = \frac{u_{кН}}{100} \cdot \frac{S_{\delta}}{S_{номтр}} = \frac{6,75}{100} \cdot \frac{100}{25} = 0,27 ;$$

$$X_{*6C} = \frac{u_{кВ}}{100} \cdot \frac{S_{\delta}}{S_{номтр}} = \frac{0,25}{100} \cdot \frac{100}{25} = 0,01 .$$

Схема заміщення до точки к2 представлена на рис. 2.6.

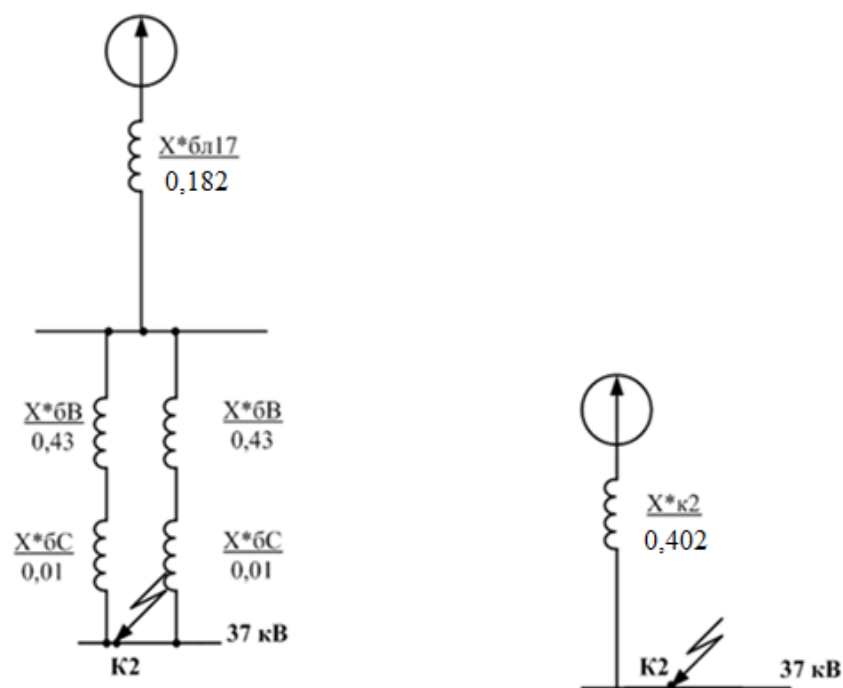


Рисунок 2.6 – Схема заміщення до точки к2

Зм.	Арк.	№ документа	Підпис	Дата

Визначимо базисний струм для точки к2:

$$I_{\delta 2} = \frac{S_{\delta}}{\sqrt{3} \cdot U_{cp}} = \frac{100}{\sqrt{3} \cdot 37} = 1,56 \text{ кА};$$

$$X_{*\delta K2} = X_{*\delta K1} + \frac{X_{*\delta B} + X_{*\delta C}}{2} = 0,182 + \frac{0,43 + 0,01}{2} = 0,402 .$$

Знайдемо струм короткого замикання в точці к2:

$$I_{к2} = \frac{I_{\delta 2}}{X_{*\delta K2}} = \frac{1,56}{0,402} = 3,881 \text{ кА}.$$

Знайдемо ударний струм в точці к2:

$$i_{y2} = 2,55 \cdot I_{к2} = 2,55 \cdot 3,881 = 9,9 \text{ кА};$$

$$I_{Куст2} = 1,52 \cdot I_{к2} = 1,52 \cdot 3,881 = 5,9 \text{ кА}.$$

Розрахунок струмів к.з. до точки К3, на шинах 27,5 кВ.

Схема заміщення до точки к3 представлена на рис. 2.7.

Загальний опір визначається:

$$X_{*\delta K3} = X_{*\delta K1} + \frac{X_{*\delta B} + X_{*\delta H}}{2} = 0,182 + \frac{0,43 + 0,27}{2} = 0,532 .$$

Визначимо базисний струм для точки К3:

$$I_{\delta 3} = \frac{S_{\delta}}{\sqrt{3} \cdot U_{cp}} = \frac{100}{\sqrt{3} \cdot 27,5} = 2 \text{ кА}.$$

					02.15.ЕС2111.КРБ.2025–ПЗ	Лист
Зм.	Арк.	№ документа	Підпис	Дата		42

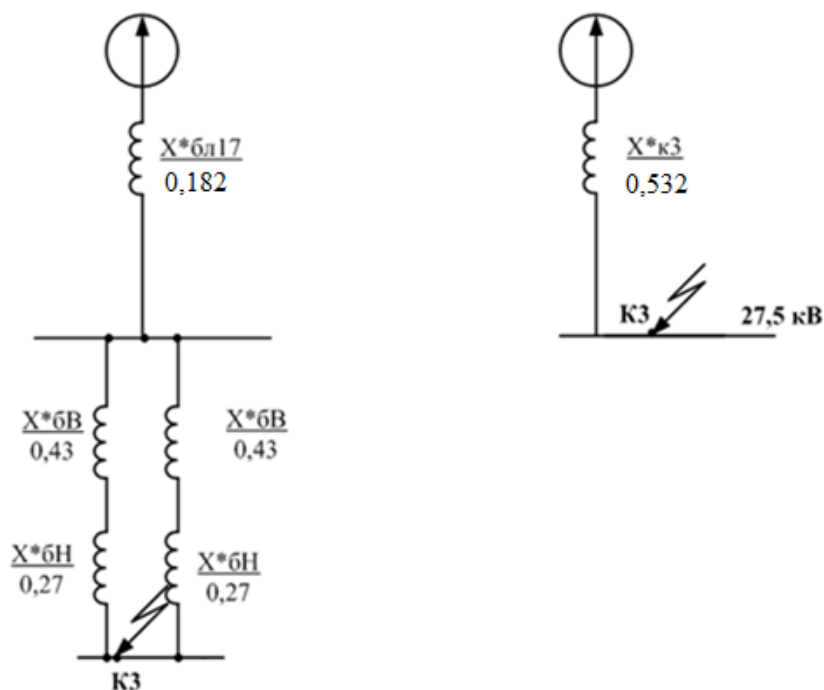


Рисунок 2.7 – Схема заміщення до точки К3

Знайдемо струм короткого замикання в точці К3:

$$I_{к3} = \frac{I_{б3}}{X_{*бк3}} = \frac{2}{0,532} = 3,76 \text{ кА.}$$

Знайдемо ударний струм в точці К3:

$$i_{y3} = 2,55 \cdot I_{к3} = 2,55 \cdot 3,76 = 9,59 \text{ кА;}$$

$$I_{Кузм3} = 1,52 \cdot I_{к3} = 1,52 \cdot 3,76 = 5,72 \text{ кА.}$$

Розрахунок струмів КЗ до точки К4, на шинах 10 кВ.

Схема заміщення представлена на рис. 2.8.

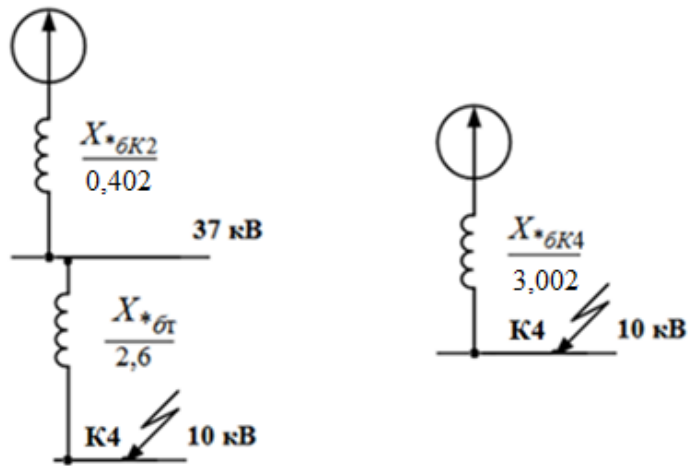


Рисунок 2.8 – Схема заміщення до точки к4

Знайдемо опір трансформатора по формулі:

$$X_{*\delta T} = \frac{6,5 \cdot 100}{100 \cdot 2,5} = 2,6.$$

Визначимо загальний опір до шин 10 кВ:

$$X_{*\delta K4} = X_{*\delta K2} + X_{*\delta T} = 0,402 + 2,6 = 3,002.$$

Визначимо базисний струм для точки к4:

$$I_{\delta 4} = \frac{S_{\delta}}{\sqrt{3} \cdot U_{cp}} = \frac{100}{\sqrt{3} \cdot 10,5} = 5,5 \text{ кА.}$$

Знайдемо струм короткого замикання в точці к4:

$$I_{к4} = \frac{I_{\delta 4}}{X_{*\delta K4}} = \frac{5,5}{3,002} = 1,832 \text{ кА.}$$

Знайдемо ударний струм в точці к4:

$$i_{y4} = 2,55 \cdot I_{к4} = 2,55 \cdot 1,832 = 4,67 \text{ кА};$$

$$I_{Куст4} = 1,52 \cdot I_{к4} = 1,52 \cdot 1,832 = 2,78 \text{ кА}.$$

Розрахунок струмів КЗ до точки К5, на ТВП сторона 0,4 кВ.

Схема заміщення представлена на рис. 2.9.

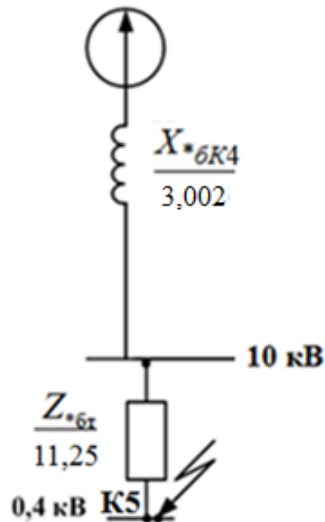


Рисунок 2.9 – Схема заміщення до точки к5

В ТВП активна і індуктивна складові опору співрозмірні.

$$Z_{*\delta t} = \frac{u_k}{100} \cdot \frac{S_{\delta}}{S_{номтр}} = \frac{4,5}{100} \cdot \frac{100}{0,4} = 11,25;$$

$$R_{*\delta t} = \frac{\Delta P_{кз}}{S_{номтр}} \cdot \frac{S_{\delta}}{S_{номтр}} = \frac{5,5}{400} \cdot \frac{100}{0,4} = 3,44;$$

$$X_{*\delta t} = \sqrt{Z_{*\delta t}^2 - R_{*\delta t}^2} = \sqrt{11,25^2 - 3,44^2} = 10,7;$$

$$Z_{*\delta t \Sigma} = \sqrt{(X_{*\delta K4} + X_{*\delta t})^2 + R_{*\delta t}^2} = \sqrt{(3,002 + 10,7)^2 + 3,44^2} = 14,13.$$

Визначимо базисний струм для точки К5:

$$I_{\delta 5} = \frac{S_{\delta}}{\sqrt{3} \cdot U_{cp}} = \frac{100}{\sqrt{3} \cdot 0,4} = 144,34 \text{ кА.}$$

Знайдемо струм короткого замикання в точці К5:

$$I_{к5} = \frac{I_{\delta 5}}{Z_{* \delta m \Sigma}} = \frac{144,34}{14,13} = 10,22 \text{ кА.}$$

Знайдемо ударний струм в точці К5:

$$i_{y5} = 1,84 \cdot I_{к5} = 1,84 \cdot 10,22 = 18,8 \text{ кА;}$$

$$I_{куст5} = 1,52 \cdot I_{к5} = 1,52 \cdot 10,22 = 15,53 \text{ кА.}$$

Обчислимо теплові імпульси:

$$B_{к} = I_{к}^2 (t_{откл} + T_a);$$

$$К1: B_{к} = 2,76^2 (2 + 0,05) = 15,62 \text{ кА}^2\text{с;}$$

$$К2: B_{к} = 3,881^2 (1,5 + 0,05) = 23,35 \text{ кА}^2\text{с;}$$

$$К3: B_{к} = 3,76^2 (0,5 + 0,05) = 7,78 \text{ кА}^2\text{с;}$$

$$К4: B_{к} = 1,832^2 (1,5 + 0,05) = 5,2 \text{ кА}^2\text{с;}$$

					02.15.ЕС2111.КРБ.2025–ПЗ	Лист
Зм.	Арк.	№ документа	Підпис	Дата		46

$$K5: B_k = 10,22^2(0,5 + 0,05) = 57,45 \text{ кА}^2\text{с.}$$

Результати розрахунків точок к.з. заносимо в таблицю 2.2.

Таблиця 2.2 – Результати розрахунків точок к. з.

Точки короткого замикання	Струми короткого замикання при $S_6=100$ МВА				
	$I_{\sigma}, \text{кА}$	$I_k, \text{кА}$	$I_{Kуст}, \text{кА}$	$i_y, \text{кА}$	$B_k, \text{кА}^2\text{с}$
K1	0,502	2,76	4,2	7,04	15,62
K2	1,56	3,881	5,9	9,9	23,35
K3	2	3,76	5,72	9,59	7,78
K4	5,5	1,832	2,78	4,67	5,2
K5	144,34	10,22	15,53	18,8	57,45

2.3 Розрахунок максимальних робочих струмів приєднань

Розрахунок максимальних робочих струмів зведемо до таблиці 2.3.

Таблиця 2.3 – Максимальні робочі струми приєднань

№	Найменування збірних шин	Розрахункова формула та числова підстановка	Максимальний робочий струм
1	2	3	4
1	Введення на ТП 110 кВ	$I_{роб.ш. max} = \frac{k_{np} \cdot S_{ш.розр. max}}{\sqrt{3} \cdot U_{ном}} = \frac{1,4 \cdot 50000}{\sqrt{3} \cdot 110}$	367,8 А
2	Сторона ВН ТП	$I_{роб.ш. max} = \frac{k_{нер} \cdot S_{ш.ном.пт}}{\sqrt{3} \cdot U_{ном}} = \frac{1,4 \cdot 25000}{\sqrt{3} \cdot 110}$	183,9 А
3	Сторона СН ТП	$I_{роб.ш. max} = \frac{k_{нер} \cdot \sum S_{ш.ном.пт}}{\sqrt{3} \cdot U_{ном}} = \frac{1,4 \cdot 25000}{\sqrt{3} \cdot 35}$	578,05 А
4	Сторона НН ТП	$I_{роб.ш. max} = \frac{k_{нер} \cdot \sum S_{ш.ном.пт}}{\sqrt{3} \cdot U_{ном}} = \frac{1,4 \cdot 25000}{\sqrt{3} \cdot 27,5}$	735,7 А
5	Збірні шини 27,5 кВ	$I_{роб.ш. max} = \frac{k_{рн} \cdot \sum S_{ш.ном.пт}}{\sqrt{3} \cdot U_{ном}} = \frac{0,5 \cdot 50000}{\sqrt{3} \cdot 27,5}$	525,5 А
6	Сторона ВН РТ 35/10	$I_{роб.ш. max} = \frac{k_{нер} \cdot \sum S_{ш.ном.пт}}{\sqrt{3} \cdot U_{ном}} = \frac{1,4 \cdot 2500}{\sqrt{3} \cdot 35}$	57,8 А

Закінчення таблиці 2.3

1	2	3	4
7	Сторона НН РТ 35/10	$I_{роб.ш. max} = \frac{k_{пер} \cdot k_{рн} \cdot \sum S_{ш.ном.пт}}{\sqrt{3} \cdot U_{ном}} = \frac{1,4 \cdot 0,7 \cdot 2500}{\sqrt{3} \cdot 10}$	141,6 А
8	Сторона ВН ТВП	$I_{роб.ш. max} = \frac{k_{пер} \cdot \sum S_{ш.ном.пт}}{\sqrt{3} \cdot U_{ном}} = \frac{1,4 \cdot 400}{\sqrt{3} \cdot 10}$	32,33 А
9	Сторона НН ТВП	$I_{роб.ш. max} = \frac{k_{пер} \cdot \sum S_{ш.ном.пт}}{\sqrt{3} \cdot U_{ном}} = \frac{1,4 \cdot 400}{\sqrt{3} \cdot 0,4}$	808,3 А
10	Збірні шини 35кВ	$I_{роб.ш. max} = \frac{k_{рн} \cdot \sum S_{ш.ном.пт}}{\sqrt{3} \cdot U_{ном}} = \frac{0,5 \cdot 50000}{\sqrt{3} \cdot 35}$	413 А
11	Збірні шини 10кВ	$I_{роб.ш. max} = \frac{k_{рн} \cdot \sum S_{ш.ном.пт}}{\sqrt{3} \cdot U_{ном}} = \frac{0,7 \cdot 5000}{\sqrt{3} \cdot 10}$	202,3 А
12	Лінії ДПР	$I_{роб.ш. max} = \frac{k_{пер} \cdot \sum S_{ном.ДПР}}{\sqrt{3} \cdot U_{ном}} = \frac{1,4 \cdot 250}{2\sqrt{3} \cdot 27,5}$	7,3А
13	Фідер К.М. праве плече	$I_{роб.ш. max} = \frac{k_{пер} \cdot P_{ПР}}{2\sqrt{3} \cdot \cos \varphi \cdot U_{ном}} = \frac{1,4 \cdot 8500}{2\sqrt{3} \cdot 0,85 \cdot 27,5}$	121,17 А
14	Фідер К.М. ліве плече	$I_{роб.ш. max} = \frac{k_{пер} \cdot P_{ЛВ}}{2\sqrt{3} \cdot \cos \varphi \cdot U_{ном}} = \frac{1,4 \cdot 7900}{2\sqrt{3} \cdot 0,85 \cdot 27,5}$	117,7 А

2.4 Вибір електричних апаратів вище 1000 В

Вибір вимикачів.

Вимикачі вибираються по номінальній напрузі, струму і перевіряються на властивість відключення:

$$I_{відкл. max} \geq I_k,$$

де $I_{відкл. max}$ - найбільше значення струму відключення по довідниковим даним, кА;

I_k - струм к.з., кА.

									Лист
									48
Зм.	Арк.	№ документа	Підпис	Дата	02.15.ЕС2111.КРБ.2025–ПЗ				

Високовольтні вимикачі, встановлювані в розподільчому пристрої повинні відповідати таким умовам:

$$1) U_{ном} \geq U_p; \quad 2) I_{ном} \geq I_p; \quad 3) I_{ном.відкл} \geq I_k; \quad 4) i_{\partial} \geq i_{y\partial}; \quad 5) I_T^2 \cdot t_T \geq B_k;$$

$$\text{де } B_k = I_k^2 \cdot (t_{відкл} + T_a).$$

Приведемо приклад розрахунку для вводу 110 кВ:

$$I_T = I_{відкл} \sqrt{\frac{t_{відкл}}{t_T}} = 40 \sqrt{\frac{2,58}{3}} = 37,094 \text{ кА},$$

$$B_{кдон} = I_T^2 \cdot t_T = 37,094 \cdot 2,58 = 3550 \text{ кА}^2\text{с}.$$

Подальші розрахунки та вибір вимикачів зведемо до таблиці 2.4.

Таблиця 2.4 – Вибрані вимикачі

№	Найменування приєднань	Тип вимикача	Співвідношення паспортних і розрахункових даних				
			$\frac{U_{ном}}{U_{роб}}$	$\frac{I_{ном}}{I_{роб.мах}}$	$\frac{I_{\partial}}{I_y}$	$\frac{I_{ном.відк}}{I_k}$	$\frac{I_T^2 t_T}{B_k}$
1	Вводи в РУ-110 кВ	ВГТ-110 П*-40/2500 У1	110	2500	102	40	3550
			110	367,8	7,04	2,76	15,62
2	Сторона СН ГПТ	ВР35-35-20/1250 У2	35	1250	52	20	2560
			35	578,1	9,9	3,881	23,35
3	Сторона НН ГПТ	ВБЗО-27,5-20/1000 У1	27,5	1000	52	20	1200
			27,5	735,7	9,59	3,76	7,78
4	Споживачі 35 кВ	ВР35-35-20/1250 У2	35	1250	52	20	1200
			35	18	9,9	3,881	23,35
5	Споживачі 10 кВ	ВР1-10-20/630 У1	10	630	52	20	1200
			10	37,4	4,67	1,832	5,2
6	Сторона ВН РТ 35/10	ВР35-35-20/1250 У2	35	1250	52	20	1200
			35	57,8	9,9	3,881	23,35
7	Фідер к.м. 27,5 кВ	ВБЗО-27,5-20/1000 У1	27,5	1000	52	20	1200
			27,5	121,7	9,59	3,76	7,78
8	Сторона НН РТ 35/10	ВР1-10-20/630 У1	10	630	52	20	1200
			10	141,6	4,67	1,832	5,2
9	Сторона ВН ТВП	ВР1-10-20/630 У1	10	630	52	20	1200
			10	32,3	4,67	1,832	5,2

2.5 Проектування сонячної електростанції

Проектування сонячної електростанції виконуємо за допомогою програми PVsyst. Результати представлені на рис.2.10-рис.2.18.



Version 7.4.8

PVsyst - Simulation report

Grid-Connected System

Project: Варіант 4

Variant: New simulation variant

Sheds on ground

System power: 3915 kWp

Myroliubivka - Ukraine

Рисунок 2.10 – Проектування сонячної електростанції в програмі PVsyst

					02.15.EC2111.КРБ.2025–ПЗ	Лист
Зм.	Арк.	№ документа	Підпис	Дата		50



PVsyst V7.4.8
 VCO, Simulation date:
 09/05/25 11:43
 with V7.4.8

Project: Варіант 4
 Variant: New simulation variant

UDUNT

Project summary

Geographical Site Myroliubivka Ukraine	Situation Latitude 48.42 °N Longitude 33.53 °E Altitude 135 m Time zone UTC+2	Project settings Albedo 0.20
Weather data Myroliubivka Meteonorm 8.1 (1996-2015), Sat=100% - Synthetic		

System summary

Grid-Connected System	Sheds on ground	User's needs
PV Field Orientation Fixed plane Tilt/Azimuth 30 / 0 °	Near Shadings Linear shadings : Slow (simul.)	Unlimited load (grid)
System information		
PV Array	Inverters	
Nb. of modules 7830 units	Nb. of units 35 units	
Pnom total 3915 kWp	Pnom total 3500 kWac	
	Pnom ratio 1.119	

Results summary

Produced Energy 5042086 kWh/year	Specific production 1288 kWh/kWp/year	Perf. Ratio PR 86.07 %
----------------------------------	---------------------------------------	------------------------

Table of contents

Project and results summary	2
General parameters, PV Array Characteristics, System losses	3
Near shading definition - Iso-shadings diagram	5
Main results	6
Loss diagram	7
Predef. graphs	8
P50 - P90 evaluation	9

09/05/25

PVsyst Licensed to

Page 2/10

Рисунок 2.11 – Проектування сонячної електростанції в програмі PVsyst

					02.15.EC2111.КРБ.2025–ПЗ	Лист
Зм.	Арк.	№ документа	Підпис	Дата		51



Project: Бапіант 4

Variant: New simulation variant

PVsyst V7.4.8
 VCO, Simulation date:
 09/05/25 11:43
 with V7.4.8

UDUNT

General parameters

Grid-Connected System		Sheds on ground		Models used	
PV Field Orientation		Sheds configuration		Transposition Perez	
Orientation		Nb. of sheds	435 units	Diffuse	Perez, Meteororm
Fixed plane		Sizes		Circumsolar	separate
Tilt/Azimuth	30 / 0 °	Sheds spacing	12.0 m		
		Collector width	4.37 m		
		Ground Cov. Ratio (GCR)	36.4 %		
		Shading limit angle			
		Limit profile angle	14.9 °		
Horizon		Near Shadings		User's needs	
Free Horizon		Linear shadings : Slow (simul.)		Unlimited load (grid)	

PV Array Characteristics

PV module		Inverter	
Manufacturer	Trina Solar	Manufacturer	Huawei Technologies
Model	TSM-DE18M-II)-500	Model	SUN2000-100KTL-M1-400Vac
(Original PVsyst database)		(Original PVsyst database)	
Unit Nom. Power	500 Wp	Unit Nom. Power	100 kWac
Number of PV modules	7830 units	Number of inverters	35 units
Nominal (STC)	3915 kWp	Total power	3500 kWac
Modules	435 string x 18 In series	Operating voltage	200-1000 V
At operating cond. (50°C)		Max. power (=>33°C)	110 kWac
Pmpp	3564 kWp	Pnom ratio (DC:AC)	1.12
U mpp	701 V	Power sharing within this inverter	
I mpp	5082 A		
Total PV power		Total inverter power	
Nominal (STC)	3915 kWp	Total power	3500 kWac
Total	7830 modules	Max. power	3850 kWac
Module area	18708 m²	Number of inverters	35 units
		Pnom ratio	1.12

Array losses

Array Soiling Losses		Thermal Loss factor		DC wiring losses				
Loss Fraction	1.0 %	Module temperature according to irradiance		Global array res.	3.0 mΩ			
		Uc (const)	29.0 W/m²K	Loss Fraction	2.0 % at STC			
		Uv (wind)	0.0 W/m²K/m/s					
Module Quality Loss		Module mismatch losses						
Loss Fraction	-0.8 %	Loss Fraction	2.0 % at MPP					
IAM loss factor								
Incidence effect (IAM): Fresnel, AR coating, n(glass)=1.526, n(AR)=1.290								
0°	30°	50°	60°	70°	75°	80°	85°	90°
1.000	0.999	0.987	0.962	0.892	0.816	0.681	0.440	0.000

Рисунок 2.12 – Проектування сонячної електростанції в програмі PVsyst

Зм.	Арк.	№ документа	Підпис	Дата



AC wiring losses

Inv. output line up to MV transfo	
Inverter voltage	400 Vac tri
Loss Fraction	1.75 % at STC
Inverter: SUN2000-100KTL-M1-400Vac	
Wire section (35 Inv.)	Alu 35 x 3 x 185 mm ²
Average wires length	150 m
MV line up to Injection	
MV Voltage	35 kV
Average each inverter	
Wires	Alu 3 x 35 mm ²
Length	300 m
Loss Fraction	0.04 % at STC

AC losses in transformers

MV transfo			
Medium voltage	35 kV		
One transfo parameters		Operating losses at STC (full system)	
Nominal power at STC	1.92 MVA	Nb. identical MV transfos	2
Iron Loss (24/24 Connexion)	1.75 kVA	Nominal power at STC	3.84 MVA
Iron loss fraction	0.09 % at STC	Iron loss (24/24 Connexion)	3.49 kVA
Copper loss	38.40 kVA	Copper loss	76.80 kVA
Copper loss fraction	2.00 % at STC		
Coils equivalent resistance	3 x 1.87 mΩ		

Рисунок 2.13 – Проектування сонячної електростанції в програмі PVsyst

					02.15.EC2111.КРБ.2025–ПЗ	Лист
Зм.	Арк.	№ документа	Підпис	Дата		53



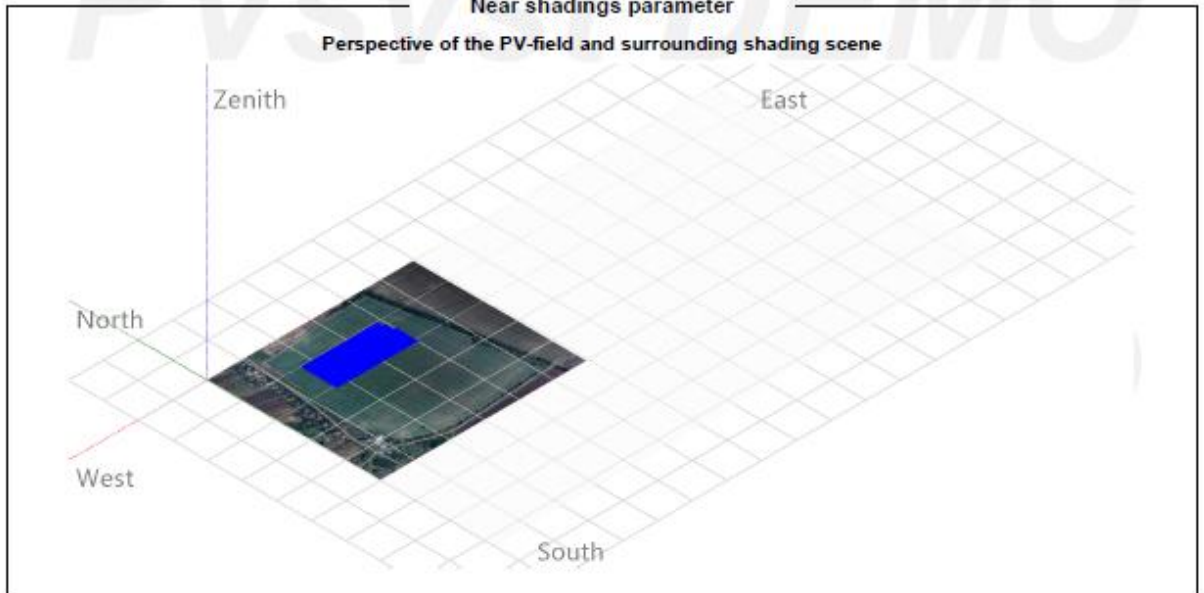
PVsyst V7.4.8
 VCO, Simulation date:
 09/05/25 11:43
 with V7.4.8

Project: Бапіант 4
 Variant: New simulation variant

UDUNT

Near shadings parameter

Perspective of the PV-field and surrounding shading scene



Iso-shadings diagram

Orientation #1

Fixed plane, Tilts/azimuths: 30°/ 0°

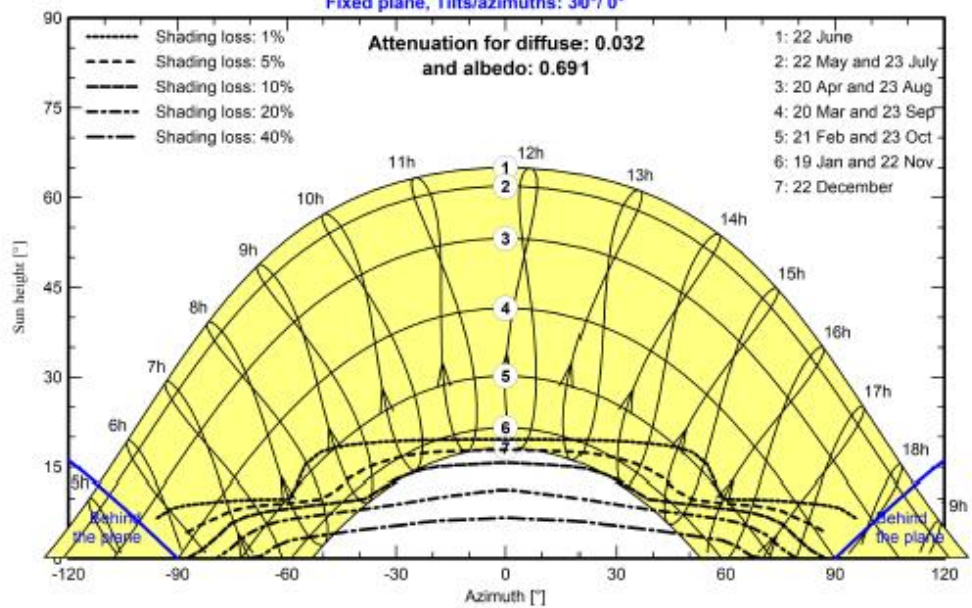


Рисунок 2.14 – Проектування сонячної електростанції в програмі PVsyst

Зм.	Арк.	№ документа	Підпис	Дата



Main results

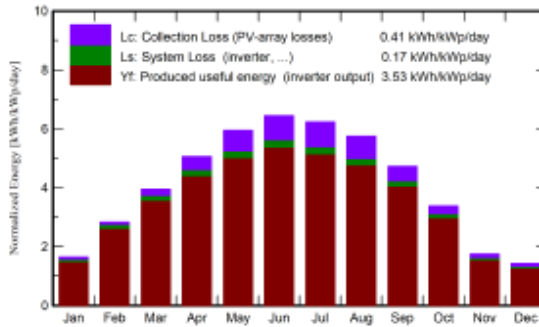
System Production

Produced Energy 5042086 kWh/year

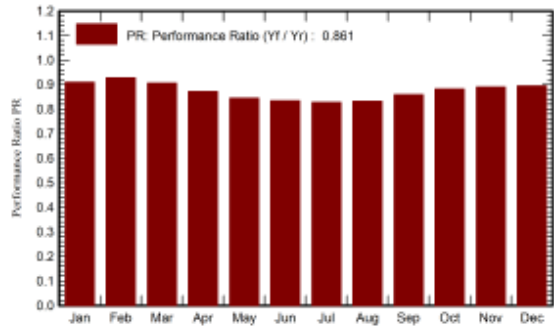
Specific production
Perf. Ratio PR

1288 kWh/kWp/year
86.07 %

Normalized productions (per installed kWp)



Performance Ratio PR



Balances and main results

	GlobHor kWh/m ²	DiffHor kWh/m ²	T_Amb °C	GlobInc kWh/m ²	GlobEff kWh/m ²	EArray kWh	E_Grid kWh	PR ratio
January	29.7	17.87	-3.51	51.1	47.7	190715	181701	0.909
February	50.9	24.04	-2.80	79.3	75.9	302252	288141	0.928
March	93.7	47.16	2.52	122.3	116.8	454249	433805	0.906
April	132.4	65.42	10.06	151.7	144.3	541943	517680	0.872
May	178.5	80.57	16.80	184.1	174.5	637037	609088	0.845
June	194.3	81.08	20.04	193.4	183.6	660867	631444	0.834
July	191.2	78.46	22.54	193.3	183.6	654620	625673	0.827
August	162.9	73.41	22.11	178.2	169.6	606221	579955	0.832
September	114.4	55.26	15.76	141.8	135.1	497784	476301	0.858
October	72.9	35.18	9.10	104.8	100.3	378727	361879	0.882
November	33.0	19.70	3.57	52.4	49.5	191756	182538	0.890
December	24.4	14.32	-0.89	44.0	41.0	162207	153880	0.894
Year	1278.5	592.47	9.68	1496.2	1422.0	5278378	5042086	0.861

Legends

GlobHor	Global horizontal irradiation	EArray	Effective energy at the output of the array
DiffHor	Horizontal diffuse irradiation	E_Grid	Energy injected into grid
T_Amb	Ambient Temperature	PR	Performance Ratio
GlobInc	Global incident in coll. plane		
GlobEff	Effective Global, corr. for IAM and shadings		

Рисунок 2.15 – Проектування сонячної електростанції в програмі PVsyst

Зм.	Арк.	№ документа	Підпис	Дата



PVsyst V7.4.8
 VCO, Simulation date:
 09/05/25 11:43
 with V7.4.8

Project: Вариант 4

Variant: New simulation variant

UDUNT

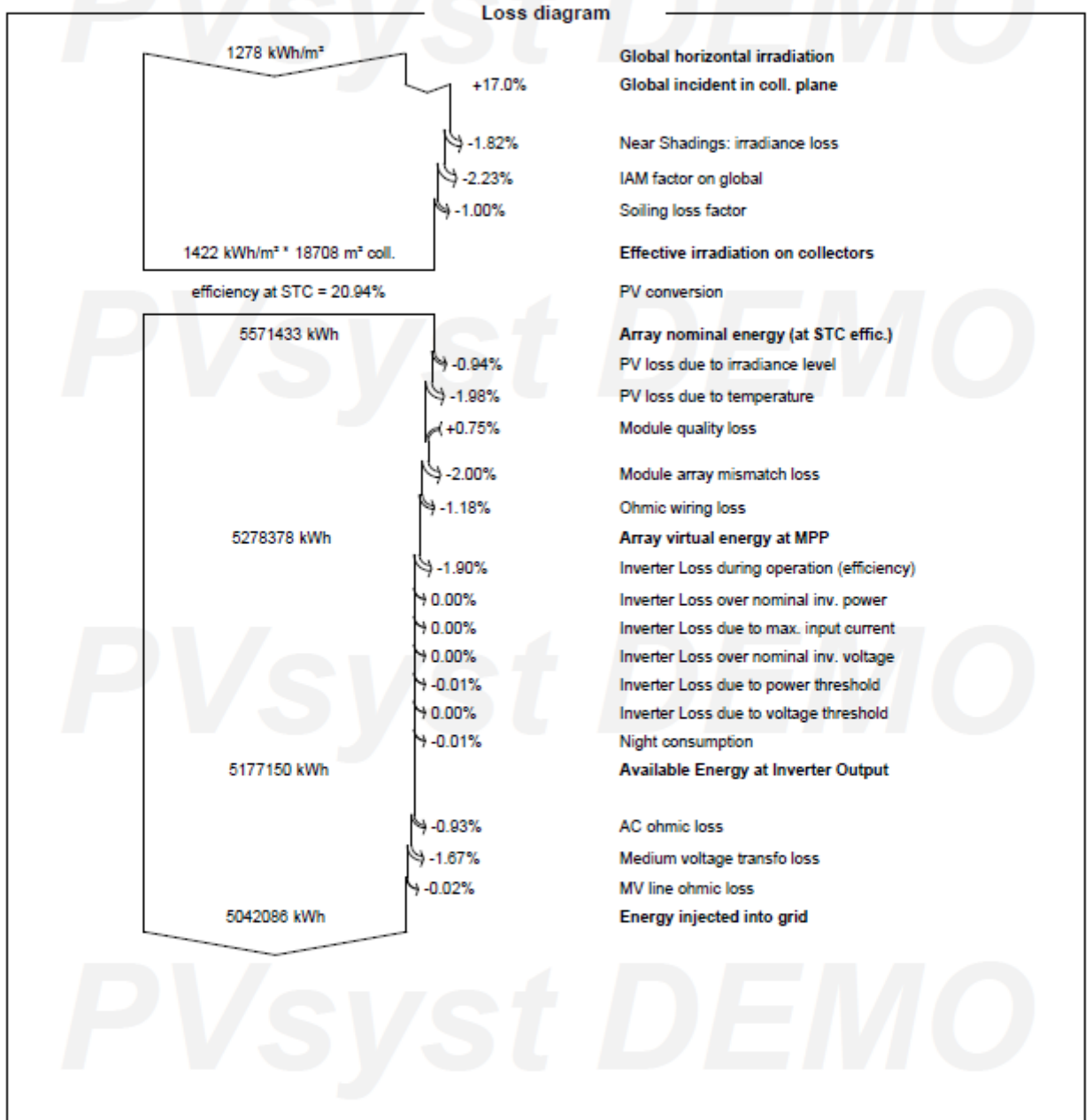


Рисунок 2.16 – Проектування сонячної електростанції в програмі PVsyst

Зм.	Арк.	№ документа	Підпис	Дата



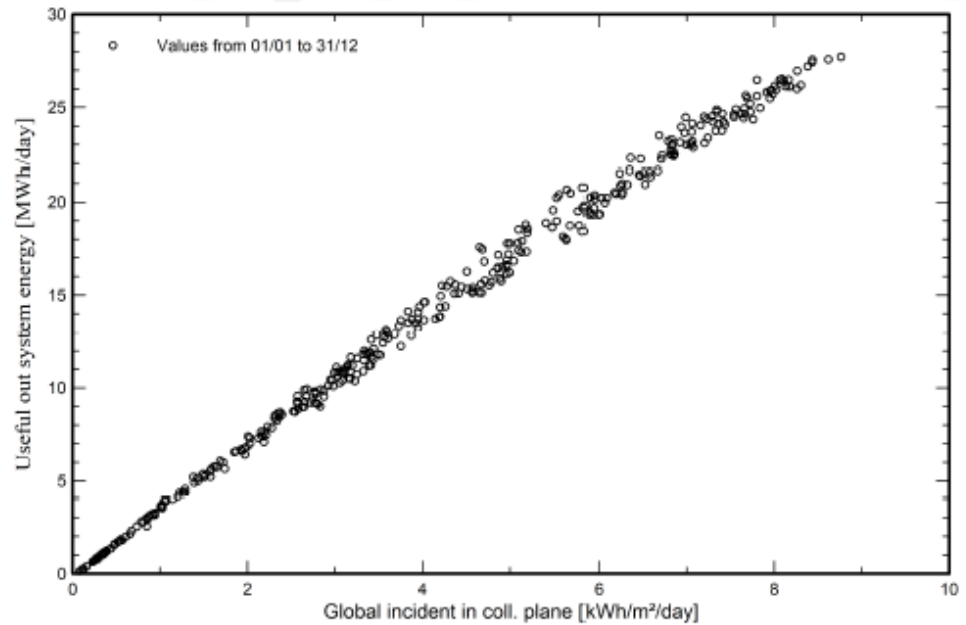
PVsyst V7.4.8
VC0, Simulation date:
09/05/25 11:43
with V7.4.8

Project: Варіант 4
Variant: New simulation variant

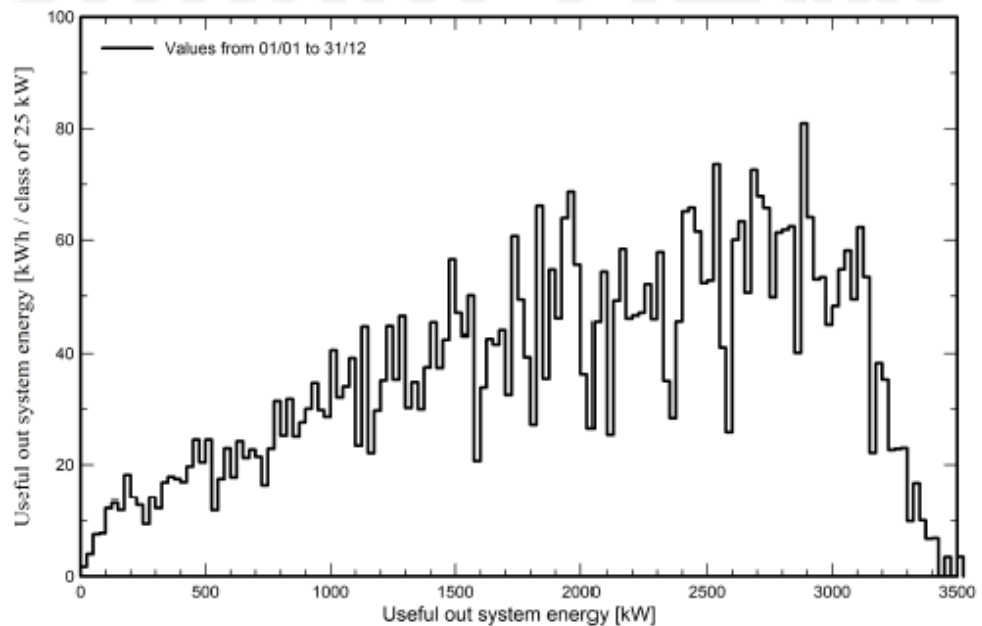
UDUNT

Predef. graphs

Daily Input/Output diagram



System Output Power Distribution



09/05/25

PVsyst Licensed to

Page 8/10

Рисунок 2.17 – Проектування сонячної електростанції в програмі PVsyst

Зм.	Арк.	№ документа	Підпис	Дата

02.15.EC2111.КРБ.2025–ПЗ

Лист

57



Project: Варіант 4

Variant: New simulation variant

UDUNT

PVsyst V7.4.8

VCO, Simulation date:
09/05/25 11:43
with V7.4.8

P50 - P90 evaluation

Weather data

Source Meteorom 8.1 (1996-2015), Sat=100%
 Kind Monthly averages
 Synthetic - Multi-year average
 Year-to-year variability(Variance) -1.0 %
 Specified Deviation
 Climate change 0.0 %

Simulation and parameters uncertainties

PV module modelling/parameters 1.0 %
 Inverter efficiency uncertainty 0.5 %
 Soiling and mismatch uncertainties 1.0 %
 Degradation uncertainty 1.0 %

Global variability (weather data + system)

Variability (Quadratic sum) 2.1 %

Annual production probability

Variability 104 MWh
 P50 5042 MWh
 P90 4909 MWh
 P95 4871 MWh

Probability distribution

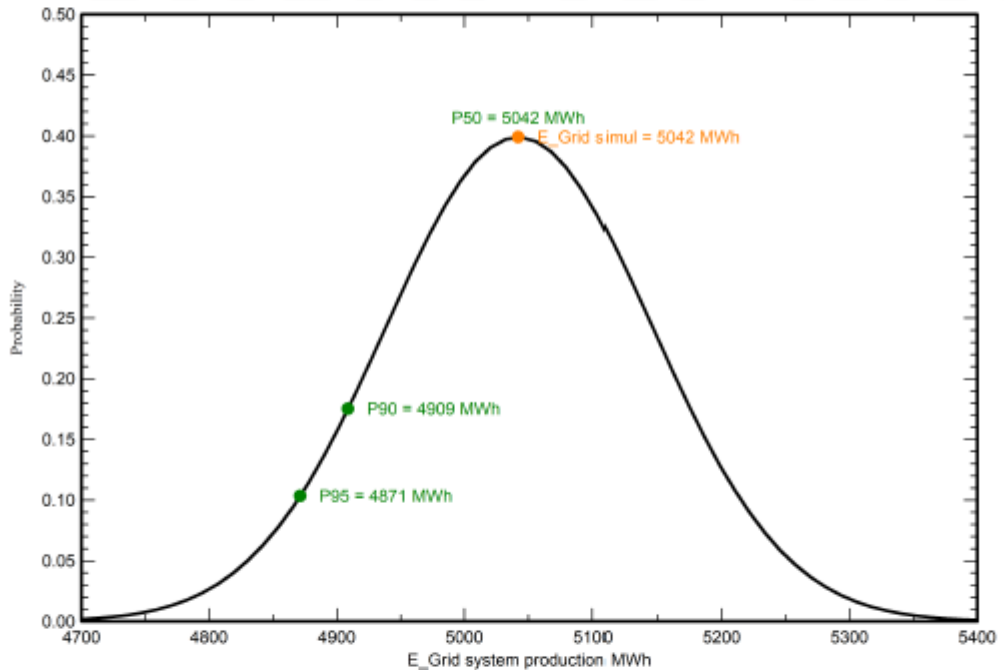


Рисунок 2.18 – Проектування сонячної електростанції в програмі PVsyst

Зм.	Арк.	№ документа	Підпис	Дата

3 ЕЛЕКТРОМЕРЕЖІ ТА РЕЛЕЙНИЙ ЗАХИСТ

3.1 Розрахунок кабельної лінії електропересилання

Кабель з ізоляцією із зшитого поліетилену для мереж 10 кВ перевіряється за наступними показниками:

1. За допустимим тривалим струмом навантаження.
2. За допустимим струмом короткого замикання по жилі кабелю.
3. За допустимим струмом короткого замикання по екрану кабелю.
4. За падінням напруги в кінці КЛ.
5. Розрахунок вибору способу заземлення екрану кабелю.

Інші вихідні дані представлені в таблиці 3.1.

Таблиця 3.1 – Вихідні дані

№ вар	Напруга мережі, кВ	Максимальний струм 3-ф КЗ, кА	Повний час тривалості короткого замикання, с	Максимальна розрахункова потужність, кВт	Довжина кабельної лінії, км
4	10	1,832	0,65	3500	1,9

Розрахунок за тривалим струмом навантаження.

Розрахунковий робочий струм КЛ в амперах у режимі номінального навантаження, розраховується за формулою:

$$I_0 = \frac{P_{\max.c}}{\sqrt{3} \cdot U_g \cdot \cos \varphi}, \quad (3.1)$$

де $P_{\max.c}$ - максимальна розрахункова потужність кВт;

U_g - напруга мережі, кВ;

$\cos \varphi$ - кут зсуву фаз між напругою та струмом (коефіцієнт потужності).

Результати розрахунку по формулі (3.1) зводимо в таблицю 3.2.

									Лист
									59
Зм.	Арк.	№ документа	Підпис	Дата	02.15.ЕС2111.КРБ.2025–ПЗ				

Розрахунок виконується згідно СОУ-Н МЕВ 40.1-37471933-49-2011 (редакція 2017 року) "Проектування кабельних ліній напругою до 330кВ".

Таблиця 3.2 – Результати розрахунку струму КЛ та підбору перетину жили кабелю

№ КЛ	$P_{\max.c}$, кВт	U_g , кВ	$\cos \varphi$	I_0 , А	S , мм ²	I_c , А
1	3500	10	0,99	204,1	95	221

Для кабелів, прокладених у землі за схемою «у трикутник» тривалий допустимий струм у амперах у заданих умовах прокладання кабелю розраховуємо за значень коригувальних коефіцієнтів, отриманих з відповідних таблиць k_2 (Таблиця 8.7), k_{33} (Таблиця 8.10), k_4 (Таблиця 8.11), k_5 (Таблиця 8.16) за формулою:

$$I_{cg} = I_c \cdot k_2 \cdot k_{33} \cdot k_4 \cdot k_5 . \quad (3.2)$$

Результати розрахунку по формулі (3.2) зводимо в таблицю 3.3.

Таблиця 3.3 – Результати розрахунку тривалого допустимого струму КЛ при прокладенні у землі за схемою в трикутник

№ КЛ	I_c , А	k_2	k_{33}	k_4	k_5	I_0 , А	I_{cg} , А	Виконання умови
1	221	0,98	1	1,18	1	204,1	255,6	виконується

Для кабелів, прокладених у землі в окремих трубах за схемою «у трикутник» тривалий допустимий струм у амперах у заданих умовах прокладання кабелю розраховуємо за значень коригувальних коефіцієнтів, отриманих з відповідних таблиць k_1 (Таблиця 8.6), k_2 (Таблиця 8.8), k_{33} (Таблиця 8.10), k_4 (Таблиця 8.12), k_5 (Таблиця 8.18) за формулою:

$$I_{cg} = I_c \cdot k_1 \cdot k_2 \cdot k_{33} \cdot k_4 \cdot k_5 . \quad (3.3)$$

					02.15.ЕС2111.КРБ.2025–ПЗ			Лист
Зм.	Арк.	№ документа	Підпис	Дата				60

Результати розрахунку по формулі (3.3) зводимо в таблицю 3.4.

Таблиця 3.4 – Результати розрахунку тривалого допустимого струму КЛ при прокладенні в окремих трубах за схемою в трикутник

№ КЛ	$I_c, А$	k_1	k_2	k_{33}	k_4	k_5	$I_0, А$	$I_{cg}, А$	Виконання умови
1	210	0,928	0,98	1	1,13	1	204,1	215,8	виконується

Для кабелів, прокладених у повітрі (на драбинах) тривалий допустимий струм у амперах у заданих умовах прокладання кабелю розраховуємо за значень коригувальних коефіцієнтів, отриманих з відповідних таблиць k_{zn} (Таблиця 8.9), k_7 (Таблиця 8.21) за формулою:

$$I_{cg} = I_c \cdot k_{zn} \cdot k_7. \quad (3.4)$$

Результати розрахунку по формулі (3.4) зводимо в таблицю 3.5.

Таблиця 3.5 – Результати розрахунку тривалого допустимого струму КЛ при прокладенні у повітрі (на драбинах)

№ КЛ	$I_c, А$	k_{zn}	k_7	$I_0, А$	$I_{cg}, А$	Виконання умови
1	287	1,08	1	204,1	310	виконується

За допустимим тривалим струмом навантаження кабель перевірку проходить.

Розрахунок за допустимим струмом короткого замикання по жилі кабелю.

Перевірка відповідності обраного перетину жили КЛ, струму 3-ф КЗ на шинах живлячої ПС здійснюється за наступною умовою:

$$I_{sc}^{(3)} < I_{csc}, \quad (3.5)$$

де $I_{sc}^{(3)}$ - 3-ф струм КЗ на шинах живлячої ПС, кА;

I_{csc} - допустимий струм короткого замикання по жилі кабелю з урахуванням часу спрацювання захисту, кА, розраховується за формулою:

$$I_{csc} = \frac{I_{tsc}}{\sqrt{t}}, \quad (3.6)$$

де I_{tsc} - допустимий струм короткого замикання по жилі кабелю, кА (табличне значення);

t - час спрацювання захисту, с.

Результати розрахунку по формулі (3.6) зводимо в таблицю 3.6.

Таблиця 3.6 – Результати розрахунку допустимого струму короткого замикання по жилі кабелю

№ КЛ	I_{tsc} , кА	t , с	I_{csc} , кА	$I_{sc}^{(3)}$, кА	Виконання умови
1	8,9	0,65	11,04	1,832	виконується

Розрахунок за допустимим струмом короткого замикання по екрану кабелю.

Перевірка відповідності обраного перетину екрану КЛ, струму 2-ф КЗ на шинах живлячої ПС здійснюється за наступною умовою:

$$I_{sc}^{(2)} < I_{ssc}, \quad (3.7)$$

де I_{ssc} - допустимий струм короткого замикання по екрану кабелю з урахуванням часу спрацювання захисту, кА, розраховується за формулою:

$$I_{ssc} = \frac{I_{tsc}}{\sqrt{t}}, \quad (3.8)$$

									Лист
									62
Зм.	Арк.	№ документа	Підпис	Дата	02.15.ЕС2111.КРБ.2025–ПЗ				

де t - час спрацювання захисту, с;

I_{tsc} - допустимий струм короткого замикання по екрану кабелю, кА (табличне значення);

$I_{sc}^{(2)}$ - 2-ф струм КЗ на шинах живлячої ПС, кА, розраховується за формулою:

$$I_{sc}^{(2)} = I_{sc}^{(3)} \cdot 0,87. \quad (3.9)$$

Результати розрахунку по формулі (3.9) зводимо в таблицю 3.7.

Таблиця 3.7 – Результати розрахунку допустимого струму короткого замикання по екрану кабелю та вибору його перетину

№ КЛ	Перетин екрану, мм ²	I_{tsc} , кА	t , с	I_{ssc} , кА	$I_{sc}^{(2)}$, кА	Виконання умови
1	25	5,1	0,65	6,33	1,59	виконується

Розрахунок за падінням напруги в кінці КЛ.

Розрахунок падіння напруги проводиться для підтвердження відповідності обраного перетину провідника допустимим значенням падіння напруги від джерела живлення до споживача в максимальному режимі лінії та у відповідності до ДСТУ 13109-97, ДСТУ EN 50160:2014.

Граничне падіння напруги в максимальному режимі розраховується за формулою:

$$\Delta U \% = \frac{10^5 \cdot P \cdot L \cdot (r_0 \cdot \cos \varphi + x_0 \cdot \sin \varphi)}{U_g^2}, \quad (3.10)$$

де P - максимальна розрахункова потужність, кВт;

L - довжина лінії, км;

r_0 - активна складова опору лінії, Ом/км;

					02.15.ЕС2111.КРБ.2025–ПЗ	Лист
Зм.	Арк.	№ документа	Підпис	Дата		63

x_0 - індуктивна складова опору лінії, Ом/км;

U_g - напруга мережі, В.

Результати розрахунку по формулі (3.10) зводимо в таблицю 3.8.

Таблиця 3.8 – Результати розрахунку падіння напруги в кінці КЛ

№ КЛ	U_g , В	L , км	r_0 , Ом/км	x_0 , Ом/км	ΔU , В	ΔU , %
1	10000	1,9	0,411	0,124	282,21	2,82

Розрахунок вибору способу заземлення екрану кабелю.

Для унеможливлення значних втрат електроенергії в струмопровідних екранах кабелів під час експлуатації КЛ в якості способу заземлення екрану кабелю обрано заземлення екрану з одного кінця КЛ.

Розрахунок проводиться для таких режимів роботи КЛ:

- нормального (трифазного);
- зовнішнього КЗ із найбільшим струмом;
- ремонтного (за наявності паралельно прокладених КЛ або кіл тієї ж самої КЛ).

Наведена напруга на незаземленому кінці екрану не повинна перевищувати допустимого діючого значення напруги змінного струму, що становить 70% значення випробувальної напруги постійного струму для оболонки кабелю.

У разі нормального трифазного режиму роботи КЛ, наведена напруга на незаземленому кінці екрану визначається за формулою:

$$U_1^{(3)} = I_0 \cdot L \cdot X_{m1}, \quad (3.11)$$

де X_{m1} - погонний індуктивний опір екрану кабелю, Ом/км, розраховується за формулою:

$$X_{m1} = 0,0628 \cdot \gamma_1, \quad (3.12)$$

де γ_1 - безрозмірний параметр впливу конфігурації взаємного розташування жил і екранів кабелів у просторі, який розраховується за формулою:

$$\gamma_1 = 0,5 \cdot \ln \left(\beta^2 \cdot \sqrt{\left(1 + \left(\sqrt{3} + \frac{1}{\beta} \right)^2 \right) \cdot \left(1 + \frac{1}{\beta^2} \right)} \right), \quad (3.13)$$

де β - безрозмірний параметр, який визначається як відношення відстані між центрами жил кабелів до зовнішнього діаметру.

У разі зовнішнього КЗ із найбільшим струмом, наведена напруга на незаземленому кінці екрану визначається за формулою:

$$U_2 = I_{sc} \cdot L \cdot X_{m2}, \quad (3.14)$$

де X_{m2} - погонний індуктивний опір екрану кабелю, Ом/км, розраховується за формулою:

$$X_{m2} = 0,0628 \cdot \gamma_2, \quad (3.15)$$

де γ_2 - безрозмірний параметр впливу конфігурації взаємного розташування жил і екранів кабелів у просторі, який розраховується за формулою:

$$\gamma_2 = 4,725 + 0,5 \cdot \ln \rho - \ln(0,5 \cdot D), \quad (3.16)$$

де ρ - питомий електричний опір, який за замовчуванням приймається рівним 1000 Ом·м.

У разі ремонтного - за наявності паралельно прокладених КЛ або кіл тієї ж самої КЛ, наведена напруга на незаземленому кінці екрану не має бути більшою за 24 В, визначається за формулою:

					02.15.ЕС2111.КРБ.2025–ПЗ	Лист
Зм.	Арк.	№ документа	Підпис	Дата		65

$$U_3 = I_0 \cdot L \cdot X_{m3}, \quad (3.17)$$

де X_{m3} - погонний індуктивний опір екрану кабелю, Ом/км, розраховується за формулою:

$$X_{m3} = 0,0628 \cdot \gamma_3, \quad (3.18)$$

де γ_3 - безрозмірний параметр впливу конфігурації взаємного розташування жил і екранів кабелів у просторі, який розраховується за формулою:

$$\gamma_3 = \ln \left(\frac{0,87 \cdot \beta + \alpha + 0,5}{0,25 \cdot \beta^2 + (0,5 + \alpha)^2} \right), \quad (3.19)$$

де α - безрозмірний параметр, який визначається як відношення найменшої відстані між двома КЛ до діаметру кабелю.

Результати розрахунку по формулам (3.11)-(3.19) зводимо в таблицю 3.9.

Таблиця 3.9 – Результати розрахунку вибору способу заземлення екрану кабелю

№ КЛ	I_0 , А	L, км	γ_1	$U_1^{(3)}$, В	γ_2	U_2 , В	γ_3	U_3 , В	Виконання умови
1	204,1	1,9	0,7	1,51	12,4	2,72	0,22	5,43	виконується

Для захисту оболонки кабелю при заземленні з одного кінця оберемо ОПН за розрахунком наведеної напруги на кінці екрану кабелю, з урахуванням тривалості режиму зовнішнього КЗ. ОПН обирають за умовою, що наведена напруга на незаземленому кінці екрану не повинна перевищувати допустимого діючого значення напруги змінного струму, що становить 70% значення випробувальної напруги постійного струму для оболонки кабелю.

Захист зовнішньої ізоляційної оболонки кабелю за допомогою ОПН можливий за виконання умов:

$$U_1^{(3)} < U_{1t.v},$$

$$U_2 < U_{1t.v} \cdot T(t_{sc}),$$

де $U_{1t.v}$ - тривало допустима напруга ОПН, кВ.

$T(t_{sc})$ - кратність напруги (приймаємо 1,8).

Умова виконується, обираємо обмежувач перенапруги на 6 кВ.

3.2 Вибір параметрів релейного захисту кабельної лінії

Вихідні дані для розрахунку короткого замикання на СЕС:

1. Однолінійна схема СЕС (P=3,5 МВт)
2. Розрахункова напруга на шинах 10 кВ - 10,5 кВ
3. Трансформатор ТМГ-1000/10/0,4 кВ (ук =6 %)
4. Повна потужність інверторного обладнання – 2 МВА
5. Довжина кабельної лінії – 1,9 км
6. Струм трифазного короткого замикання в максимальному режимі на шинах 10 кВ ПС 35/10 кВ - 1,832 кА.
7. В якості провідників для розрахунку струму короткого замикання на шинах проектованої СЕС прийнято 3хСІП-3-20 1х50 мм та кабель 3хАПвЕгаПу-12/20 1х120/25 мм, прокладка в трикутник
8. Довжина КЛ-10 кВ – 1900 м.

Розрахунок опорів схеми заміщення в максимальному режимі роботи системи.

Опір системи:

					02.15.ЕС2111.КРБ.2025–ПЗ	Лист
Зм.	Арк.	№ документа	Підпис	Дата		67

$$z_C \approx x_c = \frac{U_H}{\sqrt{3} \cdot I_{K3}^{(3)}}, \text{ Ом} \quad (3.20)$$

Опір повітряно-кабельної лінії.

Активна складова:

$$r_l = r_0 \cdot \ell_l, \text{ Ом} \quad (3.21)$$

Реактивна складова:

$$x_l = x_0 \cdot \ell_l, \text{ Ом} \quad (3.22)$$

Сумарний опір до розрахункової точки К2:

$$z_{K2} = \sqrt{z_c^2 + (r_l + x_l)^2}, \text{ Ом}, \quad (3.23)$$

Опір трансформатора:

$$z_m \approx x_m = \frac{u_k \cdot U_H^2}{100 \cdot S_{НОМ}}, \text{ Ом} \quad (3.24)$$

Сумарний опір до розрахункової точки К3:

$$z_{K3} = z_{K2} + z_m, \text{ Ом} \quad (3.25)$$

Результати розрахунку по формулам (3.21)-(3.25) зводимо в таблицю 3.10.

					02.15.ЕС2111.КРБ.2025–ПЗ	Лист
						68
Зм.	Арк.	№ документа	Підпис	Дата		

Таблиця 3.10 – Результати розрахунків опорів схеми заміщення в максимальному режимі роботи системи

z_C , Ом	r_L , Ом	x_L , Ом	z_{K2} , Ом	z_m , Ом	z_{K3} , Ом
3,31	1,56	0,28	3,787	6,615	10,402

Розрахунок струмів короткого замикання в розрахункових точках в максимальному режимі роботи системи.

Розрахункова точка К1.

Струм КЗ в розрахунковій точці К1 приймаємо рівним струму короткого замикання на шинах 10 кВ ПС 35/10 кВ - $I_{K1}^{(3)} = 1,832$ кА.

Розрахункова точка К2.

Струм КЗ питомий зі сторони ПС 35/10 кВ в точці К2

$$I_{K2ПС}^{(3)} = \frac{U_H}{\sqrt{3} \cdot z_{K2}}. \quad (3.26)$$

Струм КЗ питомий зі сторони СЕС приведений до сторони 10 кВ

$$I_{КСЕС}^{(3)} = \frac{P}{\sqrt{3} \cdot U_H}. \quad (3.27)$$

Сумарний струм КЗ в точці К2

$$I_{K2}^{(3)} = I_{K2ПС}^{(3)} + I_{КСЕС}^{(3)}. \quad (3.28)$$

Розрахункова точка К3.

Струм КЗ питомий зі сторони ПС 35/10 кВ в точці К3 – на шинах 0,4 кВ СЕС, приведений до сторони 10 кВ:

$$I_{K3PC}^{(3)} = \frac{U_n}{\sqrt{3} \cdot z_{K3}} \quad (3.29)$$

Сумарний струм КЗ в точці КЗ:

$$I_{K3}^{(3)} = I_{K3PC}^{(3)} + I_{KCEC}^{(3)} \quad (3.30)$$

Результати розрахунку по формулам (3.26)-(3.30) зводимо в таблицю 3.11 та таблицю 3.12.

Таблиця 3.11 – Результати розрахунків трифазних струмів КЗ в максимальному режимі роботи системи

$I_{K1}^{(3)}, \text{кА}$	$I_{K2PC}^{(3)}, \text{кА}$	$I_{KCEC}^{(3)}, \text{кА}$	$I_{K2}^{(3)}, \text{кА}$	$I_{K3PC}^{(3)}, \text{кА}$	$I_{K3}^{(3)}, \text{кА}$
1,832	1,601	0,192	1,793	0,583	0,775

Таблиця 3.12 – Результати розрахунків двофазних струмів КЗ в максимальному режимі роботи системи

$I_{K1}^{(2)}, \text{кА}$	$I_{K2PC}^{(2)}, \text{кА}$	$I_{KCEC}^{(2)}, \text{кА}$	$I_{K2}^{(2)}, \text{кА}$	$I_{K3PC}^{(2)}, \text{кА}$	$I_{K3}^{(2)}, \text{кА}$
1,594	1,393	0,167	1,56	0,507	0,674

Розрахунок уставок спрацювання захисту.

Вихідні дані для розрахунку уставок спрацювання захисту:

1. Допустимий робочий струм $I_{\text{доп}} = 46,19 \text{ А}$

2. Струми короткого замикання

І ст. СВ (струмова відсічка)

Струм спрацювання захисту обирається за умовами:

- відстроювання від стрибка струму намагнічення трансформатору КТП 1000/10/0,4 У1 при наявності напруги в лінії.

Максимальна величина струму при включенні може скласти

$$I_{БТН} = (3...5) \cdot I_{\text{ном.тр.}}$$

									Лист
									70
Зм.	Арк.	№ документа	Підпис	Дата	02.15.ЕС2111.КРБ.2025–ПЗ				

Приймаємо коефіцієнт відстроювання захисту $k_{від} = 1,2$.

Номинальний струм трансформатору:

$$I_{ном} = \frac{S_{ном}}{\sqrt{3} \cdot U_{ном}} \quad (3.31)$$

Струм спрацювання захисту:

$$I_{с.з.} = k_{від} \cdot I_{БТН} \cdot I_{ном} \quad (3.32)$$

Результати розрахунку по формулам (3.31)-(3.32) зводимо в таблицю 3.13.

Таблиця 3.13 – Результати розрахунку відстроювання від струму намагнічування трансформатору

$I_{ном}, А$	$I_{сз min}, А$	$I_{сз max}, А$	$I_{сз}, А$ для відстроювання
54,99	197,96	329,94	330

- відстроювання від струму трифазного КЗ на шинах 0,4 кВ КТП 1000/10/0,4 У1, приведеного до напруги 10,5 кВ.

Струм спрацювання захисту:

$$I_{с.з.} = k_{від} \cdot I_{КЗ}^{(3)} \quad (3.33)$$

Струм уставки:

$$I_y = \frac{k_{сх} \cdot I_{с.з.}}{k_{ТА}} \quad (3.34)$$

Коефіцієнт чутливості при двофазному КЗ на шинах 10 кВ КТП 1000/10/0,4 У1:

$$k_{\text{ч}} = \frac{k_{\text{сх}} \cdot I_{\text{КЗ}}^{(3)}}{I_{\text{с.з.}}} \quad (3.35)$$

Результати розрахунку по формулам (3.33)-(3.35) зводимо в таблицю 3.14.
Таблиця 3.14 – Результати розрахунку відстроювання від струму трифазного КЗ на шинах 0,4 кВ, приведенного до напруги 10,5 кВ

$I_{\text{с.з.}}, \text{А}$	$I_{\text{у}}, \text{А}$	$k_{\text{ч}}$
930	31	1,93

У відповідності п. 3.2.26 ПУЕ-2017 найменші коефіцієнти для резервних захистів у разі КЗ у кінці суміжного елемента або найбільш віддаленого з декількох послідовних елементів, які входять до зони резервування мають бути близькими до 1,2.

Умова забезпечення чутливості захисту виконується.

Витримку часу спрацьовування першого ступеню захисту ВС для забезпечення швидкого відключення приймаємо рівній мінімально можливому значенню – менше 0,1 с.

II ст. МСЗ (максимальний струмовий захист)

Струм спрацьовування захисту

$$I_{\text{с.з.}} = \frac{k_{\text{н}} \cdot k_{\text{від}} \cdot I_{\text{дон}}}{k_{\text{н}}} \quad (3.36)$$

де $k_{\text{н}}$ - коефіцієнт надійності (1,1);

$k_{\text{від}}$ - коефіцієнт відстроювання захисту (1,2);

$k_{\text{н}}$ - коефіцієнт повернення (0,95).

Струм уставки:

$$I_y = \frac{k_{cx} \cdot I_{c.з.}}{k_{TA}} \quad (3.37)$$

Коефіцієнт чутливості при двофазному КЗ на шинах 10 кВ КТП 1000/10/0,4 У1:

$$k_q = \frac{I_{K2}^{(3)}}{I_{c.з.}} \quad (3.38)$$

Результати розрахунку по формулам (3.36)-(3.38) зводимо в таблицю 3.15.
Таблиця 3.15 – Результати розрахунку відстроювання від струму трифазного КЗ на шинах 0,4 кВ, приведеного до напруги 10,5 кВ

$I_{c.з.}, A$	I_y, A	$I_{cз}, A$ для відстроювання	k_q
76,4	7,64	80	9,8

Умова забезпечення чутливості захисту виконується.

Витримку часу спрацьовування максимального струмового захисту приймаємо рівній значенню 0,5 с. Зведену інформацію про уставки заносимо в таблицю 3.16.

Таблиця 3.16 – Зведена інформація про уставки

Назва	Величина
Уставка СВ1, А	330
Витримка часу СВ1, с	<0,1
Уставка МЗС2, А	80
Витримка часу МЗС2, с	0,5
Уставка ЗНЗ, А	3
Витримка часу ЗНЗ на подачу сигналу, с	9

Розрахунок ємнісних струмів.

Ємнісний погонний струм замикання на землю в місці пошкодження

$$I_C = 3 \cdot \omega \cdot C_{\phi} \cdot U_{\phi} \cdot 10^{-6}, \quad (3.39)$$

де ω - кутова швидкість вектору напруги, с ;

C_{ϕ} - ємність фази мережі, мкФ;

U_{ϕ} - фазна напруга мережі, В.

Ємнісний струм замикання на землю в місці пошкодження для розглядуваної кабельної лінії

$$I_{СКЛ} = I_C \cdot \ell_{КЛ}. \quad (3.40)$$

Результати розрахунку по формулам (3.39)-(3.40) зводимо в таблицю 3.17.

Таблиця 3.17 – Результати розрахунку ємнісних струмів

$C_{\phi КЛ}$, мкФ	ω , с ⁻¹	U_{ϕ} , В	I_C , А/км	$I_{СКЛ}$, А
0,229	314	6062,18	1,308	2,485

У відповідності з ГКД 34.20.172-95 «Типова інструкція по компенсації ємнісного струму замикання на землю в електричних мережах 6-35 кВ» компенсація повинна застосовуватись в кабельних мережах 10 кВ при значеннях ємнісного струму більше 20 А. Оскільки сумарний ємнісний струм замикання на землю мереж 10 кВ СЕС не перевищує даного значення, встановлення пристроїв компенсації ємнісних струмів не передбачається.

Функціонування інверторного обладнання.

Контролер виконує наступні функції автоматики та захисту (згідно керівництва по експлуатації):

- моніторинг параметрів вхідної напруги постійного струму та вихідної напруги змінного струму;

					02.15.ЕС2111.КРБ.2025–ПЗ	Лист
Зм.	Арк.	№ документа	Підпис	Дата		74

- контроль технологічних параметрів інвертора;
- контроль реактивної потужності;
- контроль активної потужності;
- інтерфейс заземлення;
- відхилення напруги/частоти;
- максимальний струмовий захист;
- захист від min/max частоти;
- захист від перенапруги (при перевищенні напруги змінного струму (значення встановленої уставки) інверторне обладнання блокує видачу потужності в мережу. Уставку спрацювання захисту від підвищення напруги обираємо виходячи з умови недопущення підвищення напруги більш ніж на 10 %;
- відключення від електророзподільної мережі протягом 2 с в разі переривання напруги в електророзподільній мережі;
- після відключення в результаті відхилення від норми параметрів електророзподільної мережі фотоелектрична система не повинна бути повторно підключена до мережі протягом інтервалу часу від 20 с до 5 хв з моменту відновлення нормальних значень напруги і частоти.

Контролер інверторного обладнання виконує функції синхронізації з мережею, контроль параметрів якості напруги, релейного захисту при нормальних, аварійних та післяаварійних режимах роботи. В нормальному режимі інверторне обладнання вмикається в роботу автоматично за наявності відповідної інтенсивності освітлення та наявності напруги в мережі, синхронізуючись з її параметрами. При аварійних ситуаціях і зниженні напруги в мережі інверторне обладнання відключається.

Таким чином, встановлене на СЕС інверторне обладнання запобігає несинхронному включенню в мережу.

					02.15.ЕС2111.КРБ.2025–ПЗ	Лист
Зм.	Арк.	№ документа	Підпис	Дата		75

ІНДИВІДУАЛЬНЕ ЗАВДАННЯ

Акумуляторні батареї

4.1 Призначення та основні типи

Електричний акумулятор це хімічне джерело електричного струму багаторазової дії, основна специфіка якого полягає в зворотності внутрішніх хімічних процесів, що забезпечує його багаторазове циклічне використання (через заряд-розряд) для накопичення електричної енергії та автономного електроживлення різноманітних електротехнічних пристроїв та систем. Електричний акумулятор належить до категорії вторинних хімічних джерел струму.

Принцип дії акумулятора заснований на зворотності хімічної реакції. Найпоширеніші електричні акумулятори накопичують хімічну енергію (внаслідок зворотних хімічних реакцій між речовиною електродів та електролітом), і віддають електричну енергію, будучи гальванічними елементами. Працездатність акумулятора може бути відновлена шляхом заряду, тобто пропусканням електричного струму в напрямку, зворотному напрямку струму при розряді: на від'ємному електроді (катоді) реакція окиснення замінюється реакцією відновлення, а на позитивному електроді (аноді) реакція відновлення змінюється на реакцію окиснення.

Акумулятор, як і будь-яке хімічне джерело струму, складається з позитивного і негативного електродів та електроліту, в який вони занурені. Різниця потенціалів, що виникають на межі стикання електродів з електролітом, утворює ЕРС акумулятора (або напругу акумулятора при розімкненому колі). Під час розряду акумулятора енергія хімічних реакцій перетворюється на електричну енергію; при зарядці, навпаки, електрична енергія перетворюється на хімічну.

					02.15.ЕС2111.КРБ.2025–ПЗ	Лист
Зм.	Арк.	№ документа	Підпис	Дата		76

при саморозряді на добу 1-2%. Термін служби (кількість циклів заряд-розряд) 500-800.

До недоліків відноситься низька питома енергоємність та обмежений цикл життя. У зв'язку з тим, що свинець є токсичним, ці акумулятори потребують спеціальної утилізації.

Хоча свинцево-кислотний акумулятор може мати найвищу ємність при температурах понад 30°C, але тривала експлуатація при таких умовах скорочує функціональність акумулятора.

В залежності від потрібної напруги і загальної ємності дані акумулятори збирають з кількох елементів. Тому у більшості випадків акумулятор виконується у вигляді послідовного (або паралельного) з'єднання кількох «елементів» – кожен з яких має напругу у 2 В і складається з кількох груп свинцевих пластин вкритих окисом свинцю і кислотою. Свинцеву решітку покриту окисом свинцю називають пластиною. Кожен свинцевий елемент, який є групою пластин, має по дві клеми на позитивній стороні елемента, і на негативній. Пластини елемента акумулятора виконують зі свинцю і його двоокису, а роль електроліту належить сірчаній кислоті. Пластини з металевого свинцю мають негативний заряд, а пластини, покриті двоокисом (перекисом) свинцю – позитивний заряд. Пластини чергують таким чином, щоб між пластинами зі свинцю розташовувалися пластини з покриттям з двоокису свинцю. Щоб запобігти короткому замиканню між позитивними і негативними пластинами через фізичний контакт їх розмежують сеператорами у вигляді листів або загортають у матеріал з волокнами скловолокна, а потім у пластикову оболонку. Пластини поміщають в контейнер (зазвичай з пластика) і заливають водним розчином кислоти.

Акумулятори мають аварійний клапан через який у небезпечних ситуаціях скидається надлишок газу (так званий «герметизований акумулятор»).

У гель-свинцевих акумуляторах застосовують гелеподібний електроліт.

Під час розряду акумулятора в результаті реакції відбувається вихід води, а на пластинах обох типів утворюється сірчаноокислий свинець. Через

					02.15.ЕС2111.КРБ.2025–ПЗ	Лист
Зм.	Арк.	№ документа	Підпис	Дата		78

розбавлення водою розчину сірчаної кислоти падає її концентрація і різниця потенціалів між выводами. Оскільки сірчаноокислий свинець володіє низькою питомою провідністю – зростає внутрішній опір акумулятора.

4.2.1 Загальна характеристика акумуляторної батареї тягових підстанцій

На тягових підстанціях передбачається установка тільки свинцево-кислотних акумуляторів. Свинцево-кислотний одиничний акумуляторний елемент складається з наступних основних частин: позитивні й негативні пластини, прокладки - сепаратори що ізолюють, посудина та електроліт. Активними речовинами, що беруть участь в електролітичних реакціях, є перекис свинцю PbO_2 на позитивних пластинах, губчатий свинець Pb на негативних пластинах і розчин сірчаної кислоти у воді (рис. 4.1).

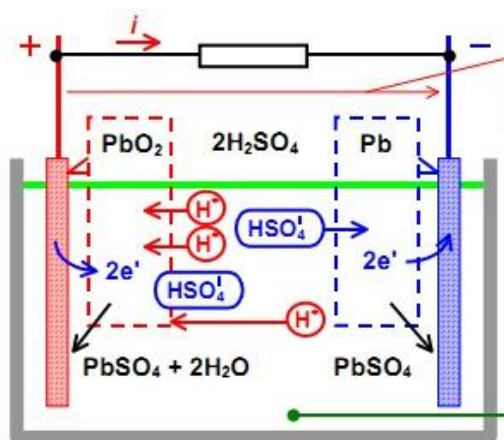


Рисунок 4.1 – Принцип роботи свинцево-кислотної акумуляторної батареї

Перекис свинцю та губчатий свинець мають кристалічну будову й не міцні, вони втримуються на основі у вигляді пластини або каркаса зі свинцю або сплаву свинцю із сурмою. Пластини кожної полярності спаюються сполучними смугами у дві ізольовані групи. Для запобігання виникнення к. з. між позитивними й негативними пластинами поміщають ізолюючі прокладки – сепаратори. Пластини поміщають у посудині так, щоб вони не торкалися його

дна, тому що в протилежному випадку при випаданні активної маси на дно посудини між ними також відбудеться к. з.

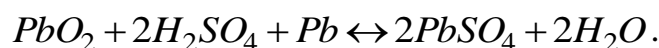
Ємність акумулятора визначається кількістю електрики $Q_{розр}$ (А·год) яке можна одержати від зарядженого акумулятора при повному його розряді за час $t_{розр}$ (год) при струмі $I_{розр}$ (А):

$$Q_{розр} = I_{розр} \cdot t_{розр}$$

Номинальна ємність акумуляторного елемента – ємність при 10 годинному розряді. Тобто ємність елемента – величина змінна, залежна від розрядного струму. Зі збільшенням розрядного струму ємність зменшується й навпаки.

Ємність акумуляторних батарей, зібраних з одиничних елементів, визначається сумарною ємністю всіх позитивних пластин у банку.

Число послідовно з'єднаних банок - елементів у батареї визначається напругою одного елемента й напругою, що необхідна для акумуляторної батареї. З'єднані паралельно - послідовно елементи акумуляторної батареї заливають електролітом і піддають електрохімічній обробці, у результаті чого в заряджених позитивних пластин утвориться перекис свинцю PbO_2 , а в негативних – губчатий свинець Pb . Процес заряду й розряду акумуляторної батареї представляє зворотну реакцію:



При розряді на обох пластинах утворюється сірчанокисле з'єднання свинцю $PbSO_4$ і виділяється вільна вода, що знижує концентрацію електроліту. Реакція заряду відбувається при проходженні струму через акумуляторну батарею від стороннього джерела постійного струму, підключеного до затискачів батареї однойменної полярності. Заряд вважається закінченим, якщо при не відключеному заряджаючому джерелі живлення напруга на елементі

					02.15.ЕС2111.КРБ.2025–ПЗ	Лист
Зм.	Арк.	№ документа	Підпис	Дата		80

встановилась рівною зарядній напрузі для даного типу акумуляторів. Розряд акумуляторної батареї допускається до напруги на елементі для даного типу акумуляторів.

4.2.2 Типи акумуляторних батарей, застосовуваних на тягових підстанціях

На існуючих тягових підстанціях застосовують відкриті акумулятори типу СК Рисунок 4.2 (С - стаціонарні, К - для коротких розрядів).

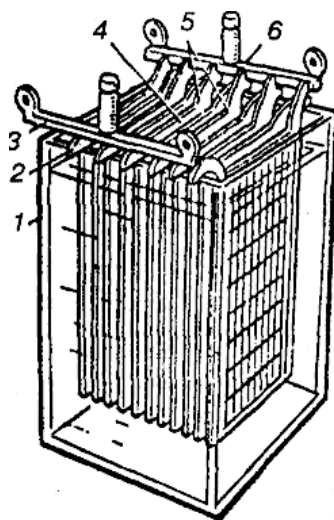


Рисунок 4.2 – Свинцево-кислотний акумулятор типу СК

Свинцево-кислотний акумулятор типу СК складається з позитивних 4 і негативних 5 пластин, поміщених у посудину 1 з електролітом. Кожна позитивна пластина 4 поміщена між двома негативними 5. Середні позитивні й негативні пластини мають по дві активні сторони, а крайні негативні – тільки одну активну сторону. Це роблять із метою створення однакових умов роботи позитивних пластин. Таким чином, число негативних пластин завжди на одну більше позитивних. Пластини кожної полярності об'єднують сполучними смугами 3 і 6 у дві ізолювані групи й виступами 2 вільно обпираються на краї посудин.

На нових споруджуваних та реконструйованих тягових підстанціях як джерело постійного оперативного струму передбачають закриті акумуляторні батареї.

Класичні свинцево-кислотні акумулятори серії OPzS відноситься до класу свинцево-кислотних батарей з рідким електролітом, виготовляють як у вигляді моноблоків, так і окремих елементів, представлених на рисунку 4.3.

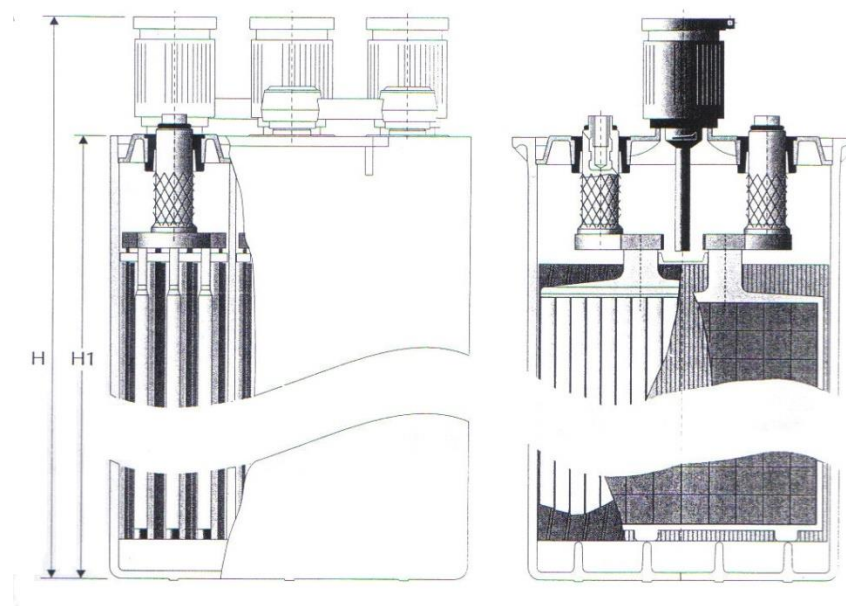


Рисунок 4.3 – Свинцево-кислотний акумулятор OPzS

Позитивний електрод батареї типу *OPzS* – трубчаста пластина. Ґрати відливаються машинами для лиття під тиском зі спеціального свинцевого сплаву. Після насадження пакетів труб із пластмаси. Свинець у формі порошку завантажується вібраторами в простір між траверсами ґрат і стінкою труби. Цей свинцевий порошок перетворюється в ході електрохімічного процесу, так званого формування, в окис свинцю й утворює, таким чином, активну масу.

Негативний електрод – пастирована ґратчаста пластина. Ґрати, відлиті зі свинцевого сплаву і являється носієм маси, а також електричним провідником, покриваються активною масою у вигляді пасти, зробленої з порошку окису свинцю. У процесі формування паста перетворюється в чистий свинець, що відрізняється пористою структурою з великою поверхнею і який міцно з'єднується із ґратами.

Сепаратор з мікропористого матеріалу й гофрований, перфорований аркуш із пластмаси відокремлюють обидва електроди один від одного, забезпечують певну відстань між ними й запобігають короткому замиканню. Більша пористість сепаратора, однак, забезпечує гарний потік іонів в електроліті від одного електрода до іншого.

Разом із сепаратором комплект позитивних і негативних пластин відповідної полярності приварюються до полюсних містків і з'єднуються паралельно.

Баки для електролітів складаються із прозорих, стійких до ударів і кислот пластмаси або ебоніту. Вони щільно закриваються кришкою з того ж матеріалу. Отвори в кришці оснащені пористими керамічними пробками, що очищають газ від крапель електроліту, що може виходити в ході заряду.

Батарея типу OPzS вимагає вкрай незначного техобслуговування. Воно обмежується оптичною оцінкою пакетів пластин через прозорий бак, періодичним виміром напруги на елементах і щільності кислоти, а також доливкою чистої води, коли досягнута низька оцінка рівня електроліту. Доливка чистої води необхідна через кожні 1-3 роки.

У режимі безперервної роботи батареї типу OPzS постійно заряджаються напругою від 2,23 до 2,25 В. Цієї напруги досить, щоб повністю зарядити батарею після розряду. Керамічні пробки на отворах для заливання мають подвійну функцію: вони очищають газ, що утвориться, і захищають елемент від зворотного запалювання. У випадку запалювання вихідної займистої газової суміші, що складається з водню й кисню, полум'я не може проникнути в елементи через пористу керамічну пробку.

Позначення акумуляторної батареї $108 \times 4OPzS200$: 108 – число стаціонарних елементів; 4 – число позитивних пластин; z – тип акумулятора із трубчастим позитивним електродом; 200 – номінальна ємність 200 А·год у режимі 10 годинного розряду.

Основні технічні характеристики акумуляторних батарей типу OPzS представлені в таблиці 4.2.

					02.15.ЕС2111.КРБ.2025–ПЗ	Лист
Зм.	Арк.	№ документа	Підпис	Дата		83

Таблиця 4.2 – Технічні данні акумуляторних батарей типу OPzS

Тип АБ	Значення струму і ємності при режимах розряду до припустимої кінцевої напруги 1,87 В									
	10-ти год.		5-ти год.		3-х год.		1-год.		0,5-год.	
	Струм А	Ємність А·год	Струм А	Ємність А·год	Струм А	Ємність А·год	Струм, А	Ємність А·год	Струм А	Ємність А·год
2 OPzS100	10,0	100	16,6	83	23,5	70,5	52,0	52,0	70,0	35,0
3 OPzS150	15,0	150	25,8	129	36,9	110,7	70,2	70,2	96,0	48,0
4 OPzS200	20,0	200	34,4	172	49,2	147,6	93,6	93,6	128,0	64,0
5 OPzS250	25,0	250	43,0	215	61,5	184,5	117,0	117,0	160,0	80,0
6 OPzS300	30,0	300	51,6	258	73,8	221,4	140,4	140,4	192,0	96,0
5 OPzS350	35,0	350	63,0	31	88,0	264,0	166,5	166,5	217,0	108,5
6 OPzS420	42,0	420	75,6	378	105,6	316,8	199,8	199,8	260,4	130,2
5 OPzS500	49,0	490	88,2	441	123,2	369,6	233,1	233,1	303,8	151,9
6 OPzS600	60,0	600	103,0	515	144,6	433,8	260,4	260,4	331,2	165,6
8 OPzS800	80,0	800	137,6	688	192,8	578,4	347,2	437,2	441,6	220,8
10OPzS1000	100,0	1000	172,0	860	241,0	723,0	434,0	434,0	552,0	261,0

Для комплектації батарей джерел постійного струму на електричних станціях і підстанціях також широко використовуються стаціонарні свинцево-кислотні герметичні акумуляторні батареї, що не обслуговуються, типу LS Харківського акумуляторного заводу «Владар», представлених на рисунку 4.4.

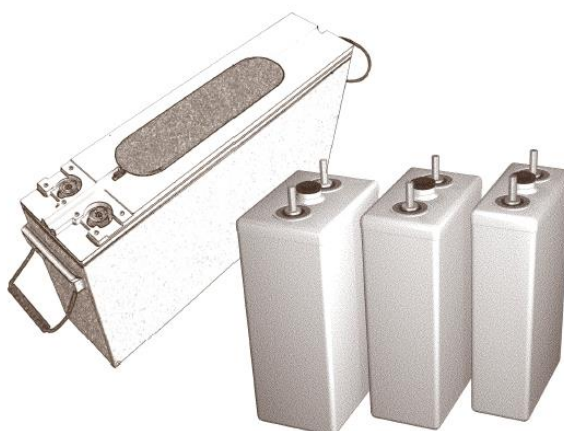


Рисунок 4.4 – Свинцево-кислотний акумулятор типу LS

У герметичних не обслуговуваних на протязі всього терміну служби акумуляторах типу LS використовується електроліт, іммобілізований у вигляді гелю.

Електроди представляють із себе пастировані гратчасті пластини складної променевої геометрії зі свинцово-кальцієво-оловянистого сплаву. Мікропористий сепаратор DARK-5000 виробництва фірми DRAMI (Німеччина) зі стекломатом, має вкрай низький електричний опір, запобігає опливанню активної маси.

Корпус і кришка виготовляються з ударного міцного морозистого ABS-пластику. Спеціальна пробка з регулювальним клапаном забезпечує підтримку надлишкового тиску усередині батареї й рекомбінацію кисню, що виділяється в процесі роботи, і, як наслідок, втрат води. Це приводить до повної відсутності викидів пар кислоти в навколишнє середовище при роботі батареї.

Сірчано-кислотний електроліт іммобілізований у вигляді гелю, що сприяє відсутності його витоків навіть при ушкодженні корпусу.

Батарея не вимагає доливання води й перевірки рівня електроліту, що дає можливість безпечної експлуатації батарей в одному приміщенні із іншим устаткуванням і персоналом.

При паралельному резервному режимі джерело постійного струму й батарея підключені завжди паралельно.

При цьому зарядна напруга є одночасно й напругою експлуатації батареї, і напругою споживача устаткування. У паралельному резервному режимі джерело постійного струму завжди в стані забезпечити максимальний струм споживача та заряд батареї. Батарея розряджається тільки тоді, коли не працює джерело постійного струму.

У буферному режимі експлуатації джерело постійного струму не завжди може забезпечити максимальний струм споживача. Струм споживання часом може перевищувати номінальний струм споживання джерела постійного струму, тоді батарея забезпечує дане перевищення.

					02.15.ЕС2111.КРБ.2025–ПЗ	Лист
Зм.	Арк.	№ документа	Підпис	Дата		85

Нікель-метал-гідридний акумулятор (NiMH) розроблений як заміна неекологічному акумулятору NiCd, та має у своєму складі тільки помірно токсичні метали і забезпечує більш високу питому енергоємність.

За будовою NiCd акумулятор є схожим на нікель-метал-гідридний акумулятор. Конструкція корпусів Ni-MH акумуляторів і NiCd акумуляторів однакова, конструкція позитивних електродів та склад електроліту – однакові.

Нікель-метал-гідридний акумулятор – електричний акумулятор з категорії вторинних батарей у якому позитивним електродом є оксидно-нікелевий електрод, а негативним – електрод зі сплавів нікелю з металами рідкоземельної групи, здатних до адсорбції водню і десорбції його при зміні полярності.

На відміну від нікель-кадмієвого акумулятора, в якому негативним електродом є кадмієвий електрод, нікель-метал-гідридні акумулятори мають вищі енергетичні характеристики, однак мають вузький температурний діапазон експлуатації і до того ж мають трохи більший саморозряд і більш чутливі до перегріву, що призводить до необхідності вбудовування в батареї елементів захисту.

Вартість однієї А·год нікель-метал-гідридних акумуляторів на 30-50% вища, ніж у нікель-кадмієвих. NiMH акумулятори можуть мати ємність в 2-3 рази більшу від NiCd, а їх густина енергії наближується до густини енергії літій-іонних акумуляторів.

Напруга елемента: максимальна – 1,4 В (повний заряд); мінімальна – 0,9 В (повний розряд).

Анодом в даних акумуляторів є металічний кадмій Cd (у вигляді порошку), електролітом – гідроксид калію КОН з додаванням гідроксиду літію LiOH (для утворення нікелатів літію і збільшення ємності на 21-25 %), катод – гідрат окису нікелю NiOOH з графітовим порошком (близько 5-8 %). ЕРС нікель-кадмієвого акумулятора близько 1,45 В, питома енергія близько 45-65 Вт·год/кг. В залежності від конструкції, режиму роботи (тривалі чи короткі розряди), і чистоти матеріалів, що застосовуються, термін служби становить від 100 до 3500 циклів заряд-розряд.

					02.15.ЕС2111.КРБ.2025–ПЗ	Лист
Зм.	Арк.	№ документа	Підпис	Дата		87

Сучасні промислові нікель-кадмієві батареї можуть служити до 20-25 років. Нікель-кадмієві акумулятори це єдиний тип акумуляторів, який може зберігатися розрядженим – на відміну від нікель-метал-гідридних акумуляторів, які потрібно зберігати повністю зарядженими, та літій-йонних акумуляторів, які необхідно зберігати при 40%-ому заряді від ємності акумулятора.

При зберіганні у розрядженому стані нікель-кадмієві акумулятори не втрачають працездатності протягом тривалого періоду – до 10 років.

Недоліки нікель-кадмієвих акумуляторів:

- NiCd батареї коштують значно дорожче за ват-годину, ніж свинцево-кислотні батареї;

- відносно швидко втрачають заряд, коли не використовуються, такий саморозряд може спричинити втрату до 10% заряду на місяць, що набагато більше, ніж літій-йонні батареї, які втрачають лише 2-3% на місяць;

- якщо батарею багаторазово заряджати, перш ніж повністю розрядити, вона «запам'ятує» меншу ємність, що призводить до погіршення продуктивності з годиною. Ефект пам'яті може призвести до зменшення ємності на 20-30% після кількох зарядок.

- нікель-кадмієві батареї містять кадмій, токсичну речовину, яка шкідлива як для здоров'я людини, так і для довкілля.

Зважаючи на перераховані недоліки нікель-кадмієві батареї не є найкращим вибором для зберігання енергії на тягових підстанціях.

4.4 Особливості літій-йонних акумуляторних батарей

Назву літій-йонні акумулятори одержали через те, що електричний струм в зовнішньому колі з'являється через переміщенні позитивно заряджених іонів літію Li⁺ між позитивними та негативними електродами в процесі розрядки та зарядки (рис.4.5). Металевий літій у цих процесах участі не бере, тому не

					02.15.ЕС2111.КРБ.2025–ПЗ	Лист
Зм.	Арк.	№ документа	Підпис	Дата		88

виникає будь-яких проблем з відновленням електродів, що забезпечує стабільність і безпеку при використанні батареї.

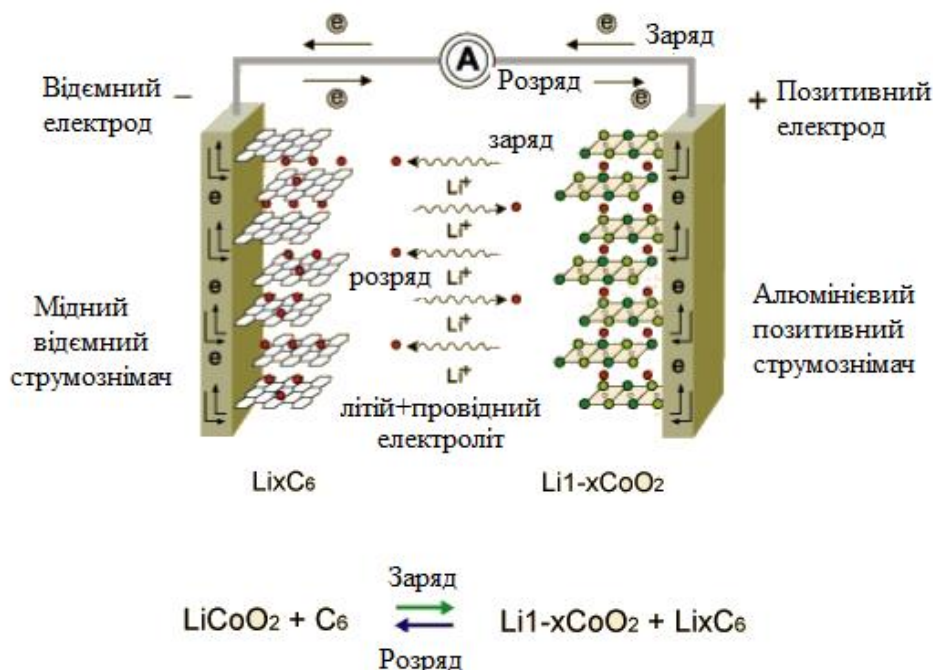


Рисунок 4.5 – Схема роботи літієвого акумулятора

Літій-іонні акумулятори виділяються своєю значною енергетичною щільністю, що вимірюється в тому, скільки енергії вони здатні зберігати щодо своїх розмірів та ваги. Ця характеристика робить їх ідеальними для застосування в областях, де важливі компактність та низька вага, таких як у мобільних пристроях та електромобілях. Висока енергетична щільність забезпечує тривалий час роботи та підвищену ефективність.

Сучасні літій-іонні акумуляторні батареї мають відносно високі показники: енергетична ємність 100-180 Вт·год/кг і 250-400 Вт·год/дм³, внутрішній опір 150-250 мОм (для батареї 7,2 В), робоча напруга – 3,5-4,2 В.

Літій-іонні батареї виділяються своїм тривалим терміном служби. На відміну від традиційних батарей, які можуть втрачати ємність з часом, літій-іонні батареї здатні витримувати безліч циклів заряджання та розряджання без істотної втрати продуктивності. Число циклів заряд/розряд до втрати 20 % ємності складає 500-1000, а саморозряд при кімнатній температурі може досягати 7 % в рік. Ця довговічність робить їх економічно ефективними у

довгостроковій перспективі, особливо в областях, де потрібні часті цикли заряджання та розрядки.

Літій-іонні батареї спроектовані з урахуванням можливості швидкої зарядки, а час швидкого заряду може складати 2-4 години.

Діапазон робочих температур складає від -20°C до $+60^{\circ}\text{C}$. Але багато виробників вже розробили акумулятори, працездатні при -40°C . Можливе розширення температурного діапазону і в бік вищих температур. В основному Li-ion акумулятори краще всього функціонують при кімнатній температурі. Робота при підвищеній температурі скорочує термін дії їх використання. Підвищена температура тимчасово протидіє внутрішньому опору акумулятора, збільшення якого призводить до його зносу.

Якщо ще кілька років тому розробники вважали досяжною ємність літій-іонних акумуляторів не більше кількох ампер-годин, то нині більшість причин, що обмежують збільшення ємності, подолано і багато виробників почали випускати акумулятори ємністю в сотні ампер-годин.

У сучасних літєвих акумуляторах чистий літій не застосовується. Зараз поширені три типи літєвих акумуляторів:

- літій-іонні (Li-ion). Номінальна напруга ($U_{\text{ном}}$) -3,6 В;
- літій-залізо-фосфатні (Li-Fe або LFP). $U_{\text{ном}}$ -3,3 В;
- літій-полімерні (Li-Po, Li-polymer). $U_{\text{ном}}$ -3,7 В.

Всі ці типи літєвих акумуляторів розрізняють за матеріалом катода або типом електроліту. В Li-ion використовується катод з кобальтата літію LiCoO_2 , в Li-Po застосований електроліт з гелеподібного полімеру, а в Li-Fe використовується катод з літій-феро-фосфату LiFePO_4 .

Li-Ion акумулятори.

Такі акумулятори широко використовуються в промисловому обладнанні та повсякденному використанні. Вони мають високу енергетичну щільність, порядку 100 Вт·г/кг, і забезпечують приблизно 300-500 циклів заряд/розряд.

Акумулятори мають дуже низьку швидкість саморозряду (приблизно 3-5 % в перший місяць, потім зменшення до 1-3 % в місяць, додатково близько 3 %

					02.15.ЕС2111.КРБ.2025–ПЗ	Лист
Зм.	Арк.	№ документа	Підпис	Дата		90

споживає схема управління). Крім того, при однакових габаритах, літєві джерела живлення працюють втричі довше, у порівнянні з Ni-Cd-акумуляторами, і у них абсолютно відсутній ефект пам'яті. Що стосується недоліків – насамперед, це висока ціна. Такі батареї необхідно зберігати в зарядженому стані, і у них є ефект старіння, навіть якщо акумулятор не використовується. Цей ефект проявляється в тому, що через рік після виготовлення знижується його ємність, а через три роки він іноді виходить з ладу.

Літій-залізо-фосфатний акумулятор.

Дані акумулятори являються аналогічними за структурними особливостями до Li-Ion акумуляторів і відрізняються лише використанням феро-фосфату літію в якості катоду. Але застосування такої речовини додає переваг у технічних характеристиках. Наприклад, напруга повністю зарядженого елемента в LiFePO_4 становить близько 3,65 В. Ці елементи значною мірою менш залежні від перезарядження, хоча виробники вкрай не рекомендують заряд вище 3,9 В і тільки кілька зарядів до 4,2 В за весь час життя елемента. Напруга повністю розрядженого елемента може становити до 2,5-2 В.

На відміну від інших літій-іонних, Li-Fe акумулятори, як і нікелеві, мають дуже стабільну напругу розряду. Напруга на виході залишається близько до 3,2 В під час розряду, поки заряд акумулятора не буде повністю вичерпано. І це може значно спростити або навіть усунути необхідність регулювання напруги в ланцюгах, але ускладнити контроль заряду акумулятора, що залишився.

У зв'язку з постійною напругою 3,2 В на виході, чотири акумулятори можуть бути з'єднані послідовно для отримання номінальної напруги на виході в 12,8 В, що наближається до номінальної напруги свинцево-кислотних акумуляторів з шістьма осередками. Це, поряд із хорошими характеристиками безпеки Li-Fe акумуляторів, робить їх гарною потенційною заміною для свинцево-кислотних акумуляторних батарей у багатьох галузях, таких як автомобілебудування та сонячна енергетика.

					02.15.ЕС2111.КРБ.2025–ПЗ	Лист
Зм.	Арк.	№ документа	Підпис	Дата		91

Використання фосфатів дозволяє уникнути витрат кобальту та екологічних проблем, зокрема, при попаданні кобальту у навколишнє середовище при неправильній утилізації.

Li-Fe акумулятор має вищий піковий струм (а, враховуючи стабільність напруги - пікову потужність), ніж у Li-Ion.

LiFePO₄ елементи повільніше втрачають ємність, ніж літій-іонні. Li-Fe акумулятори мають нижчу швидкість розряду, ніж свинцево-кислотні або літій-іонні. Так як швидкість розряду визначається у відсотках від ємності акумулятора, то більша швидкість розряду може бути досягнута в більш ємних акумуляторах (більше ампер-годин). Однак можуть бути використані LiFePO₄ елементи з високим струмом розряду (що мають вищу швидкість розряду, ніж свинцево-кислотні батареї, або LiCoO₂ тієї ж потужності).

Через повільніше зниження щільності енергії, через деякий час експлуатації, LiFePO₄ елементи вже мають більшу щільність енергії, ніж LiCoO₂ та літій-іонні.

Однією з важливих переваг у порівнянні з іншими видами літій-іонних акумуляторів є термічна та хімічна стабільність, що суттєво підвищує безпеку батареї.

Основні недоліки даних акумуляторів - проблемність заряду при негативних температурах, та відносно велика вартість.

Li-Pol акумулятори - це одна з найбільш досконалих конструкцій акумуляторних джерел живлення. Принципово іонно-літєві і полімерно-літєві акумулятори не розрізняються, але останні мають одну важливу перевагу – оскільки їх робочою речовиною є гель, що складається з суміші полімеру і електроліту, то витік рідини стає просто неможливим.

В основі ідеї літій-полімерного акумулятора (Li-pol або Li-polymer) лежить відкрите явище переходу деяких полімерів в напівпровідниковий стан в результаті впровадження в них іонів електроліту. Такі акумулятори забезпечують не гірші питомі характеристики, ніж у літій-іонних акумуляторів, але завдяки відсутності рідкого електроліту вони більш безпечні у

					02.15.ЕС2111.КРБ.2025–ПЗ	Лист
Зм.	Арк.	№ документа	Підпис	Дата		92

використанні. Li-poi акумулятори компактні і можуть бути виконані в будь-якій конфігурації. Їх контейнер може бути виконаний з металізованого полімеру. Оскільки вони використовують гелієвий електроліт, то можуть мати нетрадиційну форму. Ці джерела мають ще більш високу енергетичну щільність (до 160 Вт·г/кг) і малий струм розряду, причому нинішні зразки здатні витримати дуже велику кількість циклів заряд/розряд - близько 1000. Ще однією перевагою цих акумуляторів є те що вони досить компактні і легкі. Проте недоліком даного типу акумулятора є їх достатньо висока вартість.

Літій-титанатний акумулятор (LTO) – це літій-іонна батарея у якій в якості анода використовується титанат літію $\text{Li}_4\text{Ti}_5\text{O}_{12}$. Він широко використовується через його високу безпеку, високу стабільність, чудову продуктивність, тривалий термін служби та екологічність.

Дана акумуляторна батарея має низький саморозряд, високий рівень безпеки, тривалий термін служби, широкий діапазон робочих температур, швидку зарядку та високу швидкість розряду. Рівень залишкової ємності акумулятора LTO, який зберігається при 20 °C протягом 90 днів, становить понад 90%, а коефіцієнт відновлення ємності становить понад 95%. Достатньо висока безпека даного типу акумуляторів підтверджена, вогнепальними випробуваннями. Тривалий термін служби забезпечує до 20000 циклів розряду. Широкий діапазон робочих температур знаходиться від -40 °C до 60 °C, також можна заряджати та розряджати при -40 °C, а 99 % ємності можна розрядити при 60 °C.

Значною перевагою даного типу акумулятора є дуже низький рівень опору, що дозволяє використовувати надшвидкий заряд, тому є можливість повного заряджання за 6 хвилин. Великим плюсом є також низький саморозряд, приблизно 0,02 % на добу. Проте у технології акумуляторів з титанатом літію є значний недолік – дуже велика вартість.

Враховуючи відносну значну вартість літій-іонних акумуляторів у порівнянні з іншими їх застосування на тягових підстанціях не вигідне з економічної точки зору.

					02.15.ЕС2111.КРБ.2025–ПЗ	Лист
Зм.	Арк.	№ документа	Підпис	Дата		93

ВИСНОВКИ ТА РЕКОМЕНДАЦІЇ

У роботі виконано розрахунок навантажень на систему тягового електропостачання, вибір контактної мережі, проведено механічний розрахунок контактної підвіски, розрахунок струмів короткого замикання та вибір основного обладнання тягової підстанції, виконано проектування сонячної електростанції, розрахунок кабельної лінії електропересилання та вибір параметрів релейного захисту кабельної лінії.

Результати роботи можуть стати основою для розробки системи електропостачання між підстанціями Д-Є.

					02.15.ЕС2111.КРБ.2025–ПЗ	Лист
Зм.	Арк.	№ документа	Підпис	Дата		94

ПЕРЕЛІК ПОСИЛАНЬ

1. Енергетика тягових мереж: монографія / Сиченко В.Г., Кузнецов В.Г., Босий Д.О., Саблін О.І. Дніпро: Вид-во ПФ «Стандарт-Сервіс», 2017. 210 с.

2. Дьяков В.О., Босий Д. О., Антонов А. В. Контактна мережа електрифікованих залізниць. Улаштування контактної мережі. Дніпро: Вид-во ПФ «Стандарт-Сервіс», 2017. 220 с.

3. Друбецька Т.І., Бойко А.М. Тягові підстанції електрифікованих залізниць. Київ: Каравела, 2022. 338 с.

4. Бондар І. Л., Бондар О. І., Сиченко В. Г. Електричні системи та мережі нетягових споживачів залізничного транспорту: навч.посібник. Д.: Вид-во, 2009. 180 с.

5. Бардик Є.І., Лукаш М.П. Електрична частина станцій і підстанцій. Навч. посібник. К.: НТТУ «КПІ», 2011. 220 с.

6. Кирик В.В. Електричні системи та мережі: навчальний посібник. К: Видавництво «Політехніка», 2014. 131 с.

7. Кідиба В. П. Релейний захист електроенергетичних систем: підручник. Львів: Видавництво Національного університету «Львівська політехніка», 2013. 533 с.

8. Панченко С. В., Блиндюк В. С., Баженов В. М. Релейний захист і автоматика: навч. посібник. Харків: УкрДУЗТ, 2020. 250 с.

9. Сінчук І.О., Бойко С.М. Системи накопичення електричної енергії: Підручник. Кривий Ріг, 2020. 219 с.

10. Основні типи акумуляторів: веб-сайт. URL: <https://alfa.solar/uk/content/osnovni-tipi-akamulyatoriv-id22?srsltid=AfmBOooimDBDOg8aKwTj-WwgtslV65Nr1IW2wwd-5XCtfVхаPyIKTFN> (дата звернення: 19.05.2025).

11. Електричний акумулятор: веб-сайт. URL: <https://uk.wikipedia.org/wiki/%D0%95%D0%BB%D0%B5%D0%BA%D1%82%D1%80%D0%B8%D1%87%D0%BD%D0%B8%D0%B9%D0%B0%D0%BA%D1%8>

					02.15.EC2111.КРБ.2025–ПЗ	Лист
Зм.	Арк.	№ документа	Підпис	Дата		95

3%D0%BC%D1%83%D0%BB%D1%8F%D1%82%D0%BE%D1%80

(дата

звернення: 19.05.2025).

12. Нікель-кадмієвий акумулятор: вичерпний посібник для покупців веб-сайт. URL: <https://uk.shieldchannel.com/blogs/portable-power-station/nickel-cadmium-battery> (дата звернення: 20.05.2025).

13. Порівняльна Таблиця акумуляторних батарей: веб-сайт. URL: <https://best-energy.com.ua/support/battery/bu-107> (дата звернення: 20.05.2025).

14. Особливості літій-іонних акумуляторів: веб-сайт. URL: <https://wybor-battery.kz/blog/stati/osobennosti-litij-ionnyh-akkumulyatorov> (дата звернення: 20.05.2025).

					02.15.ЕС2111.КРБ.2025–ПЗ	Лист
Зм.	Арк.	№ документа	Підпис	Дата		96